



**Weatherford**<sup>®</sup>



SPE Moscow Section

---

# Методика комплексирования данных специальных методов ГИС для изучения вторичной пористости карбонатных коллекторов

(Integrated approach to studying of secondary porosity in carbonates using special well logging data)

Presenter: Artem Syrmolotov, Weatherford

# Содержание (Content)

- Электрический микроимиджер (Electrical Imager)
- Кросс-дипольный акустический метод (Cross dipole acoustic)
- Комплексная интерпретация данных микроимиджера и кросс-дипольного метода (Complex interpretation of imager and cross dipole acoustic data)
- Пластиоиспытатель (Formation tester)
- Корреляция результатов обработки спец. методов с другими исследованиями (Analyses and correlations of special methods results with other)

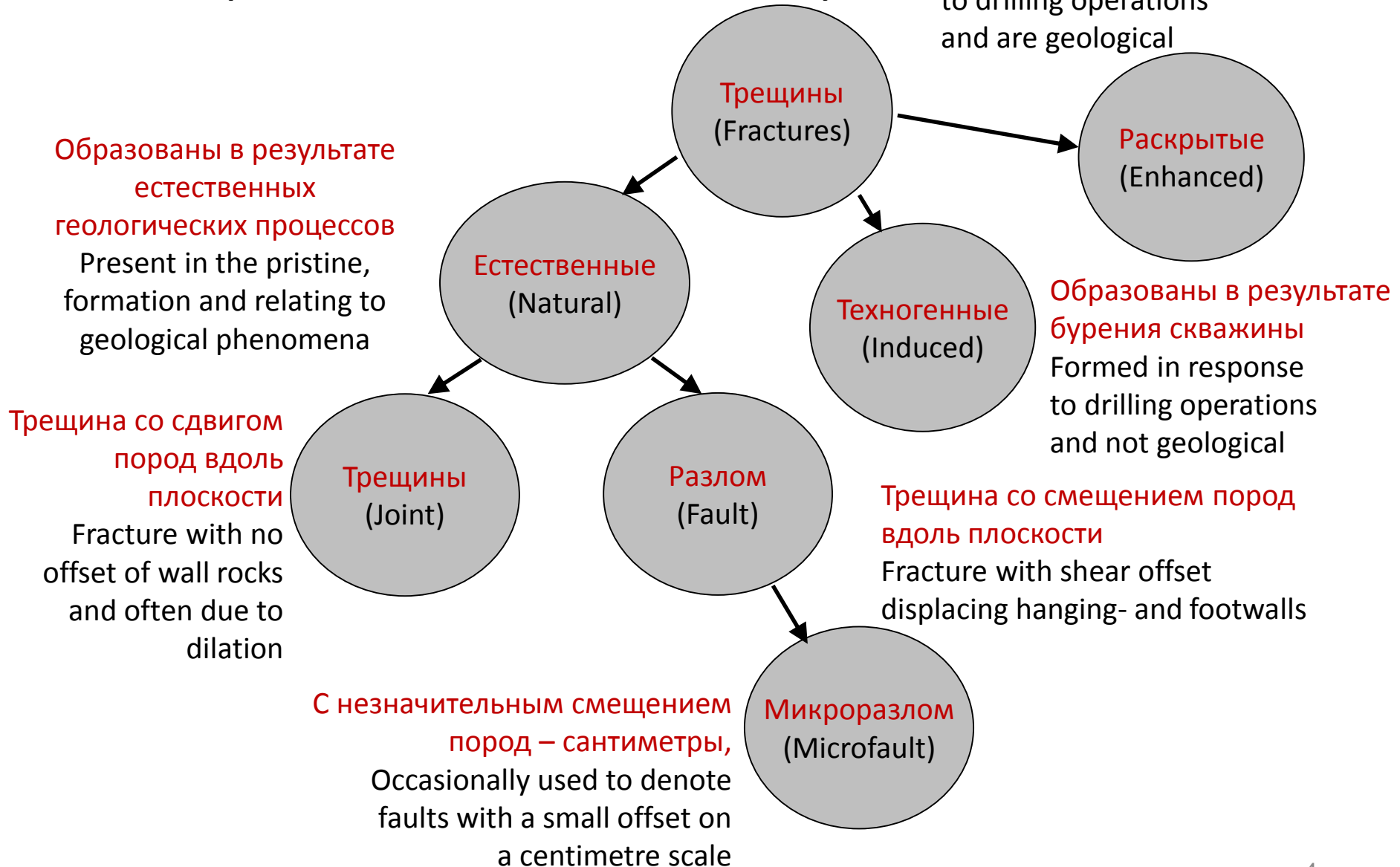
# Пористость карбонатных пород (Pores in carbonate rocks)



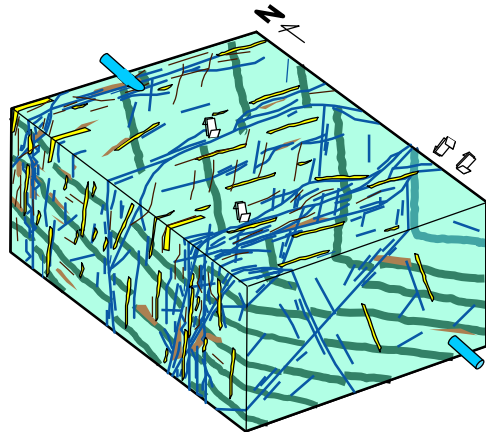
Пористость в карбонатных породах может быть первичная (межзеновая и межформенная) и вторичная (каверновая и трещинная)

Pores are created by three end - member processes that include depositional, diagenetic, and fracture mechanisms.

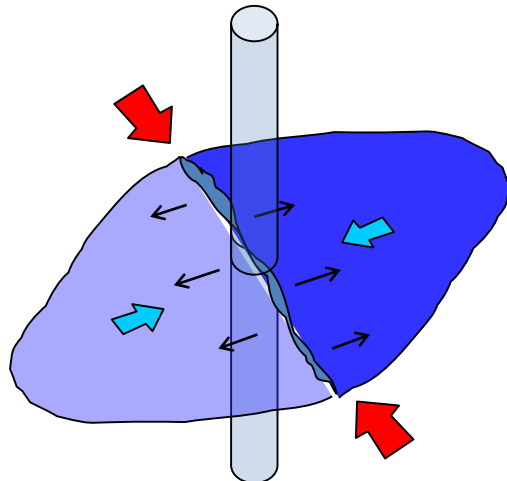
# Классификация трещин (Fractures classification)



# Эффекты бурения на трещины (Drilling fractures and drilling effects on fractures)

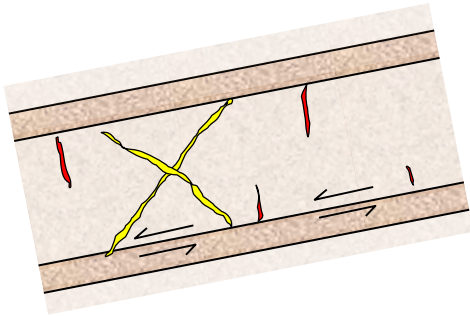


Увеличение раскрытии естественных трещин при бурении  
(Drilling regime can affect natural fractures aperture; enhances some fractures near borehole wall)

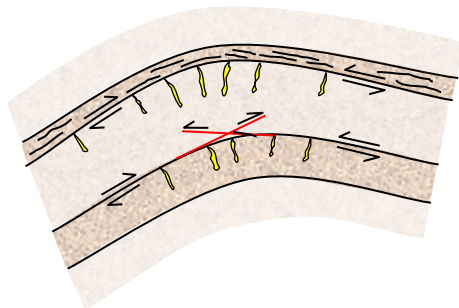


Образование трещин при бурении скважины в соответствии с направлениями горизонтальных напряжений  
Drilling could be cause of fracture creation with respect to the modern maximum and minimum stress direction

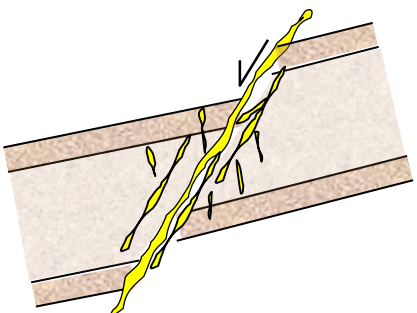
# Интенсивность трещин (Fracture intensity)



- Литология – интенсивность трещин связана с литологическим составом породы
- Lithology – changes in fracture type, morphology and density often occur at lithological boundaries.



- Складчатость – интенсивность трещин пропорциональна степени изогнутости структуры
- Curvature – fracture intensity is often proportional to the degree of structural curvature due to outer-arc extension and inner-arc compression



- Разлом – интенсивность трещин пропорциональна удаленности от разлома
- Localisation – fracture intensity may be proportional to distance from a fault, forming a 'damage-zone'

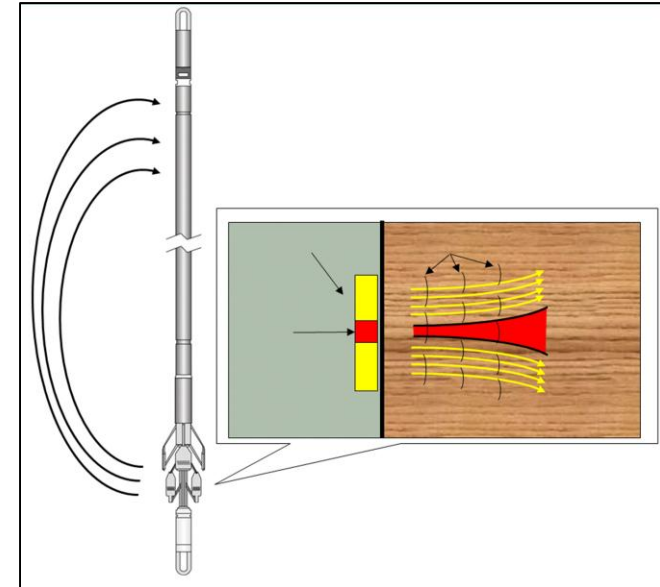
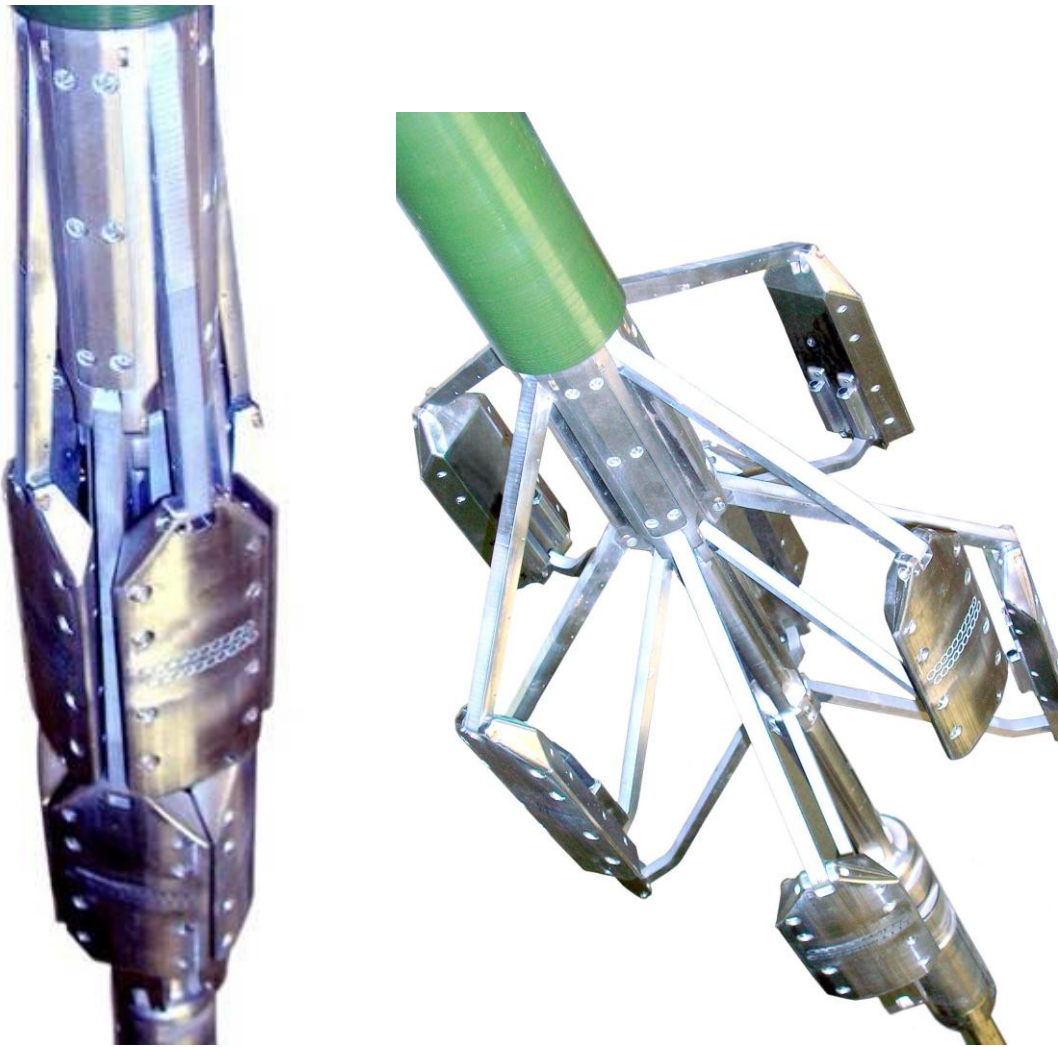
# Каверны (Diagenetic pores)



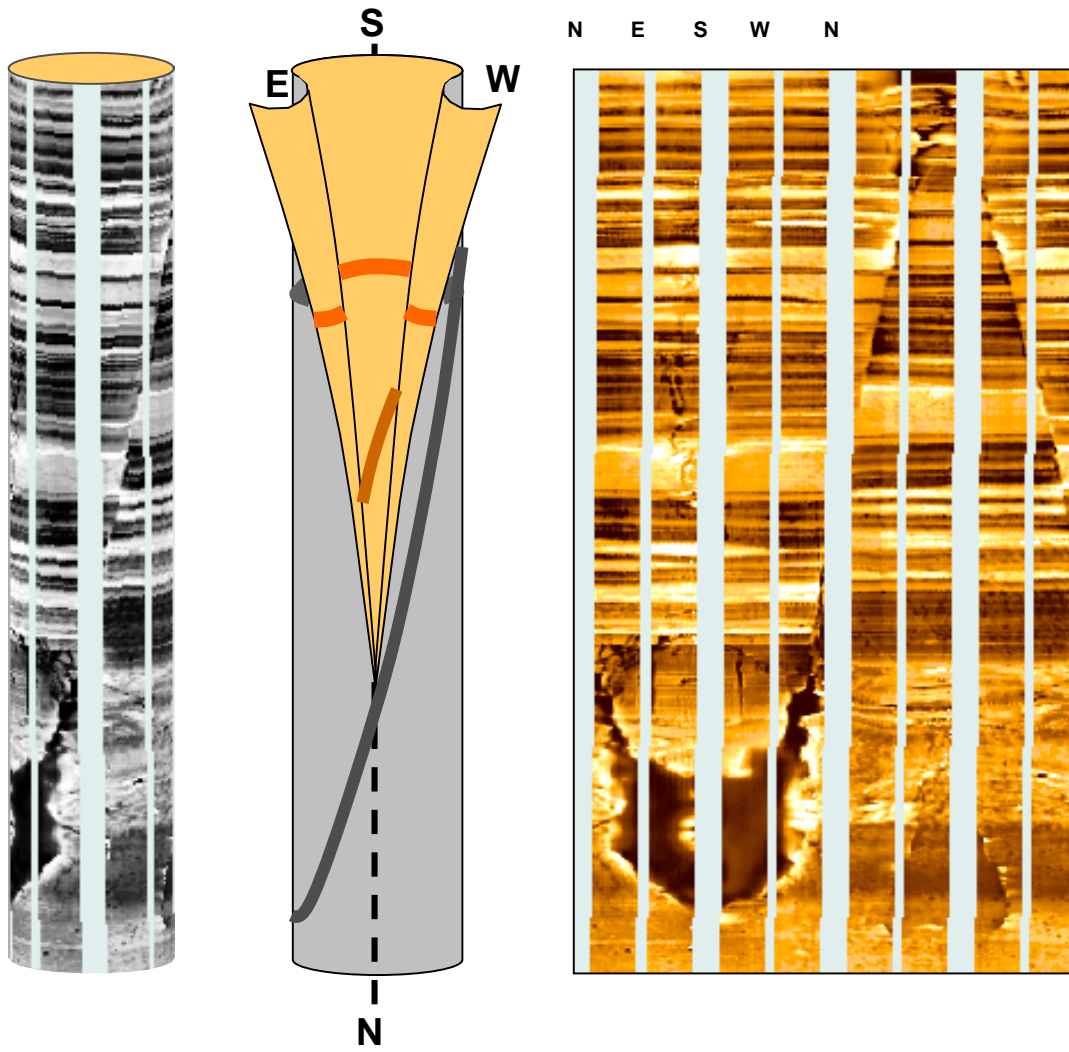
Катагенетические преобразования  
карбонатных осадков:  
кавернообразование в результате  
растворения и выноса материала.

Diagenesis may reduce original porosity (cementation, compaction, replacement, or recrystallization) or it may enhance or create totally new pore types (caves, connected vugs, and karst features)

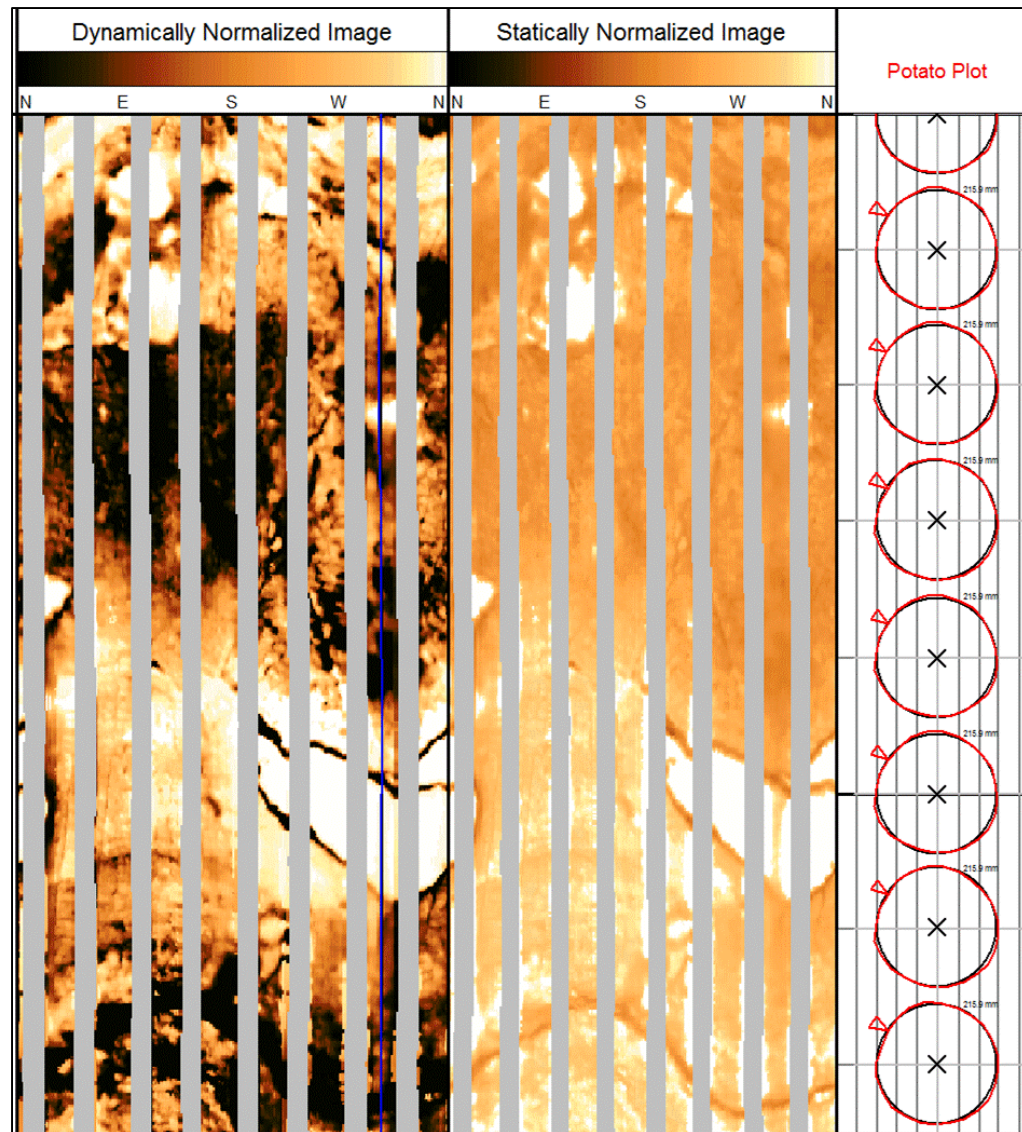
# Электрический микроимиджер (Electrical microimager)



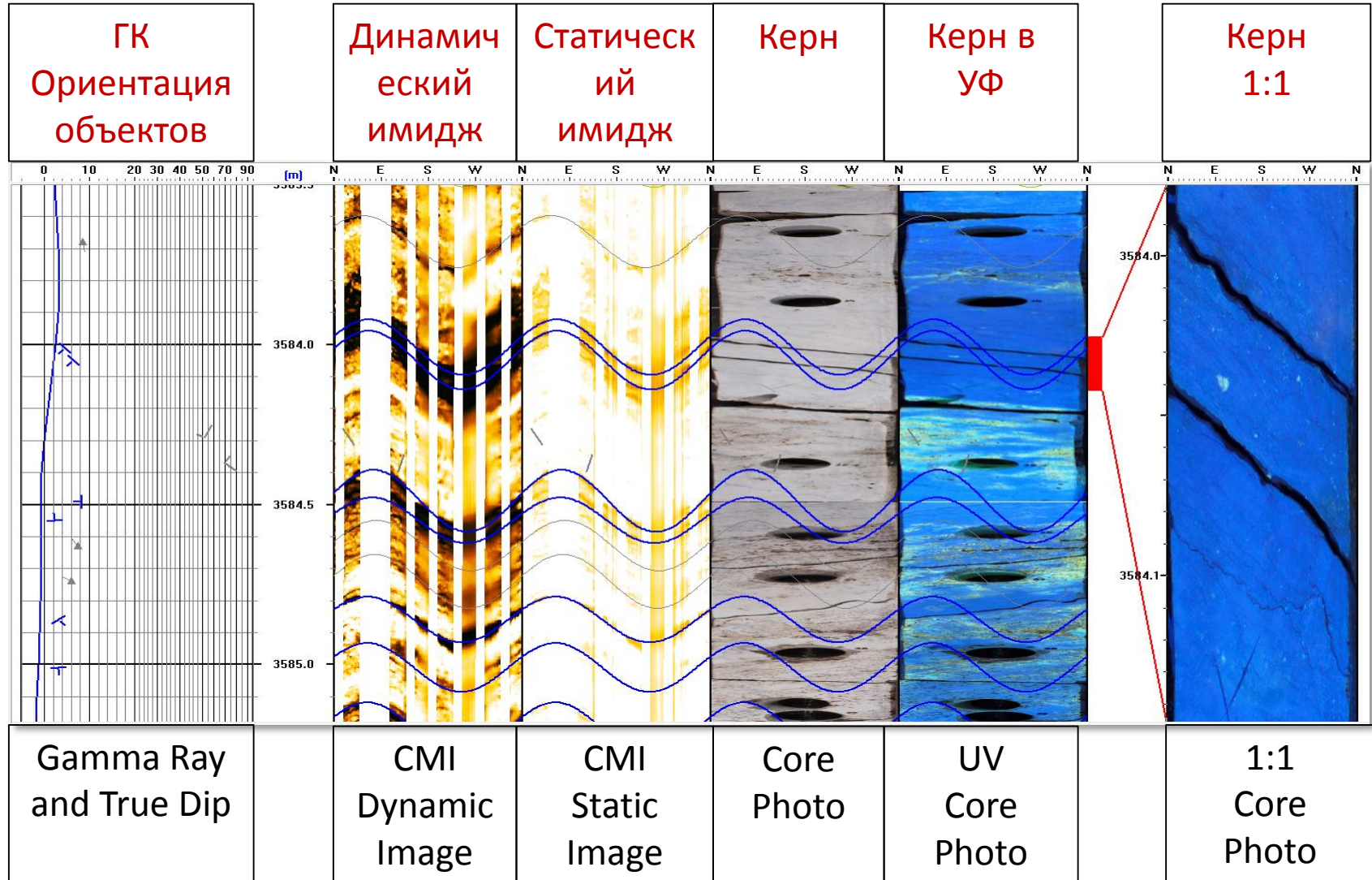
# Формирование имиджа (Image creation)



# Динамический и статический имиджи (Dynamic and static image)



# Корреляция имиджа с керном (Image correlation with core)



# Классификация трещин на имидже (Classification of fractures on the electrical image)

Проводимость  
(Conductivity):

- Непроводящие
- Проводящие
- Resistive
- Conductive

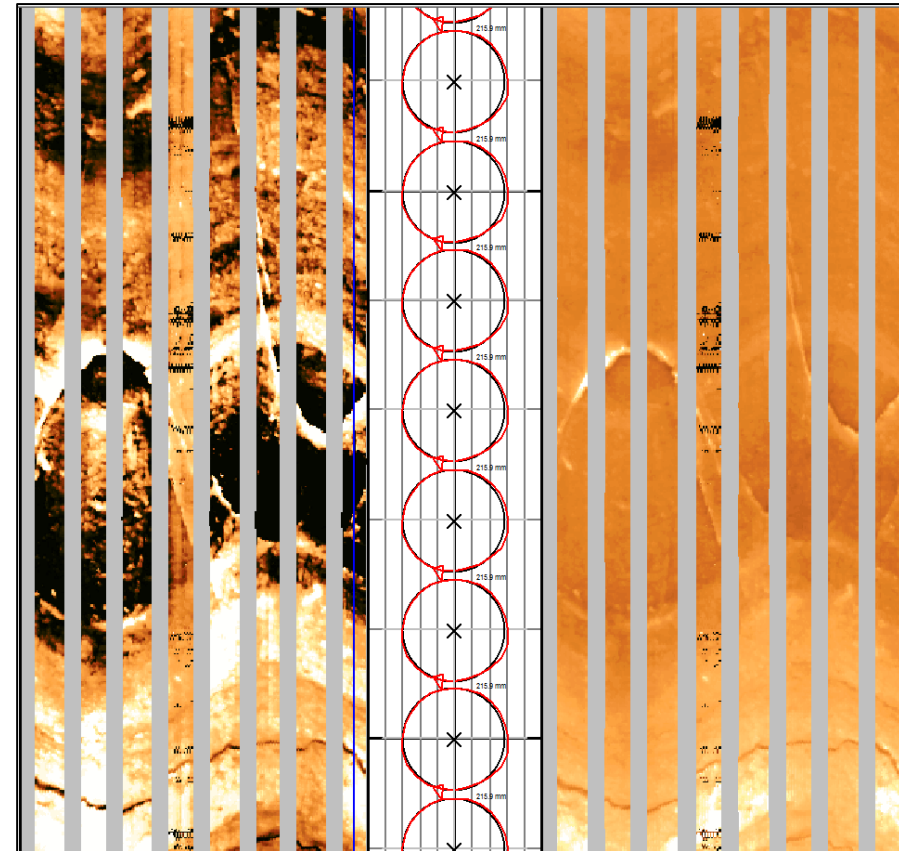
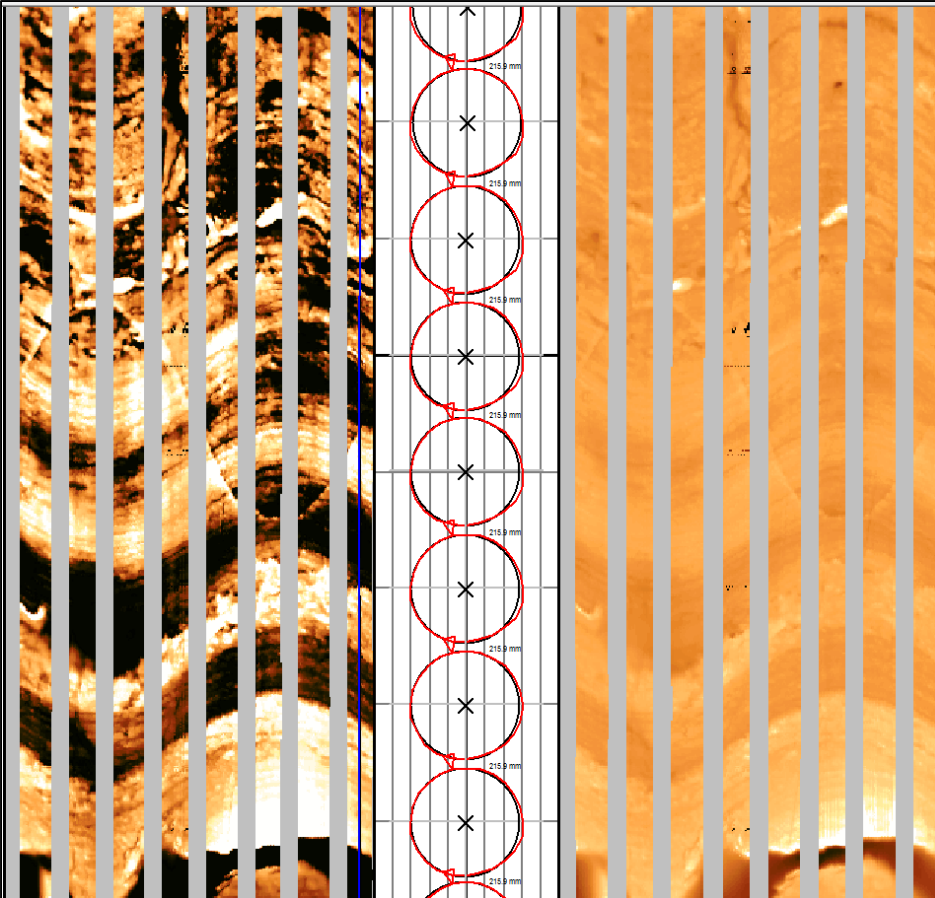
Раскрытость  
(Aperture):

- Проводящие
- Частично проводящие
- Conductive
- Discontinuous conductive

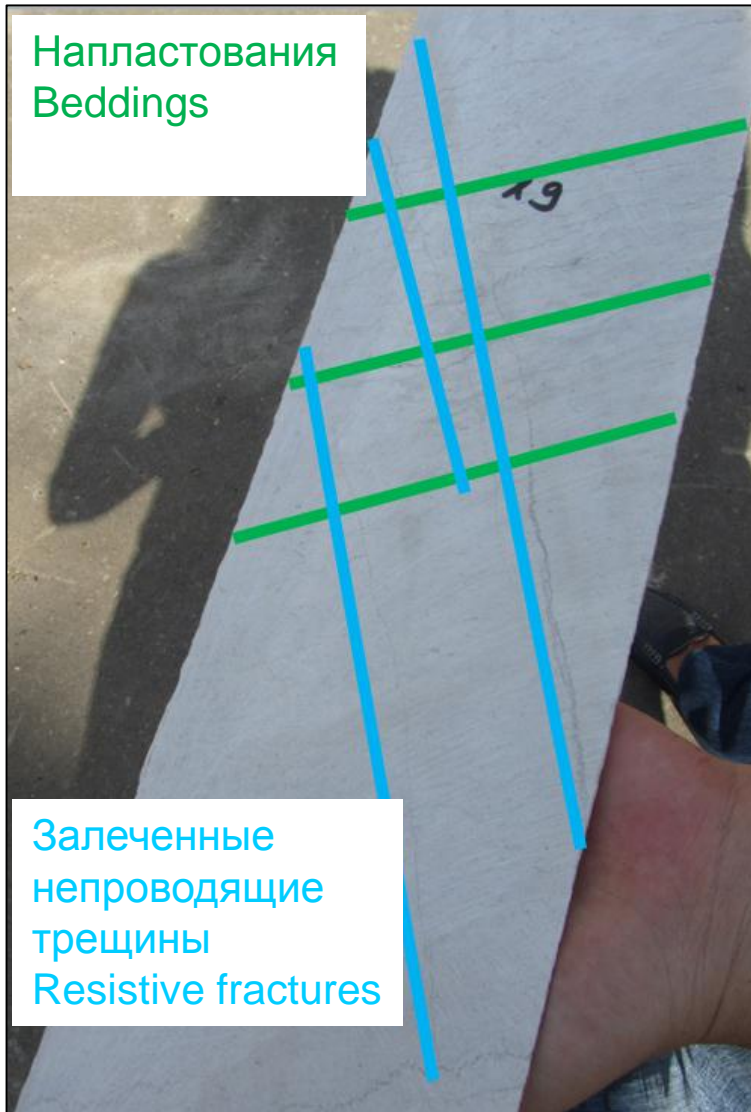
Генезис  
(Origin):

- Естественные
- Раскрытые бурением
- Трешины бурения
- Natural
- Drilling enhanced
- Drilling induced

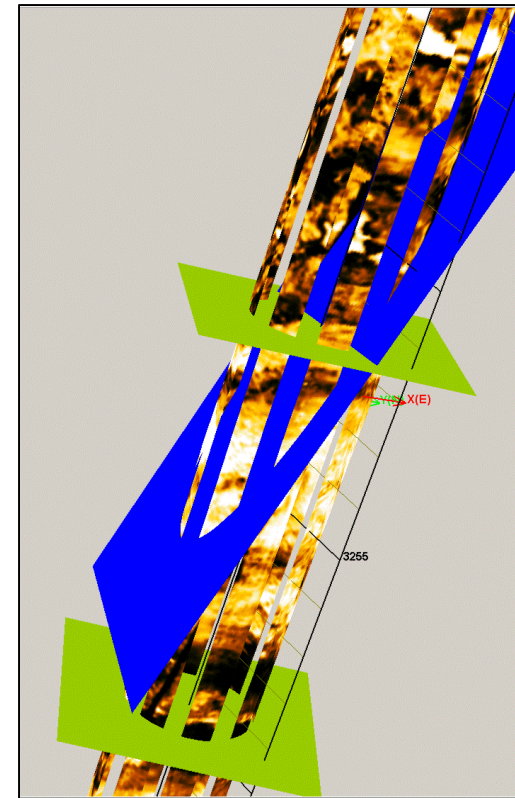
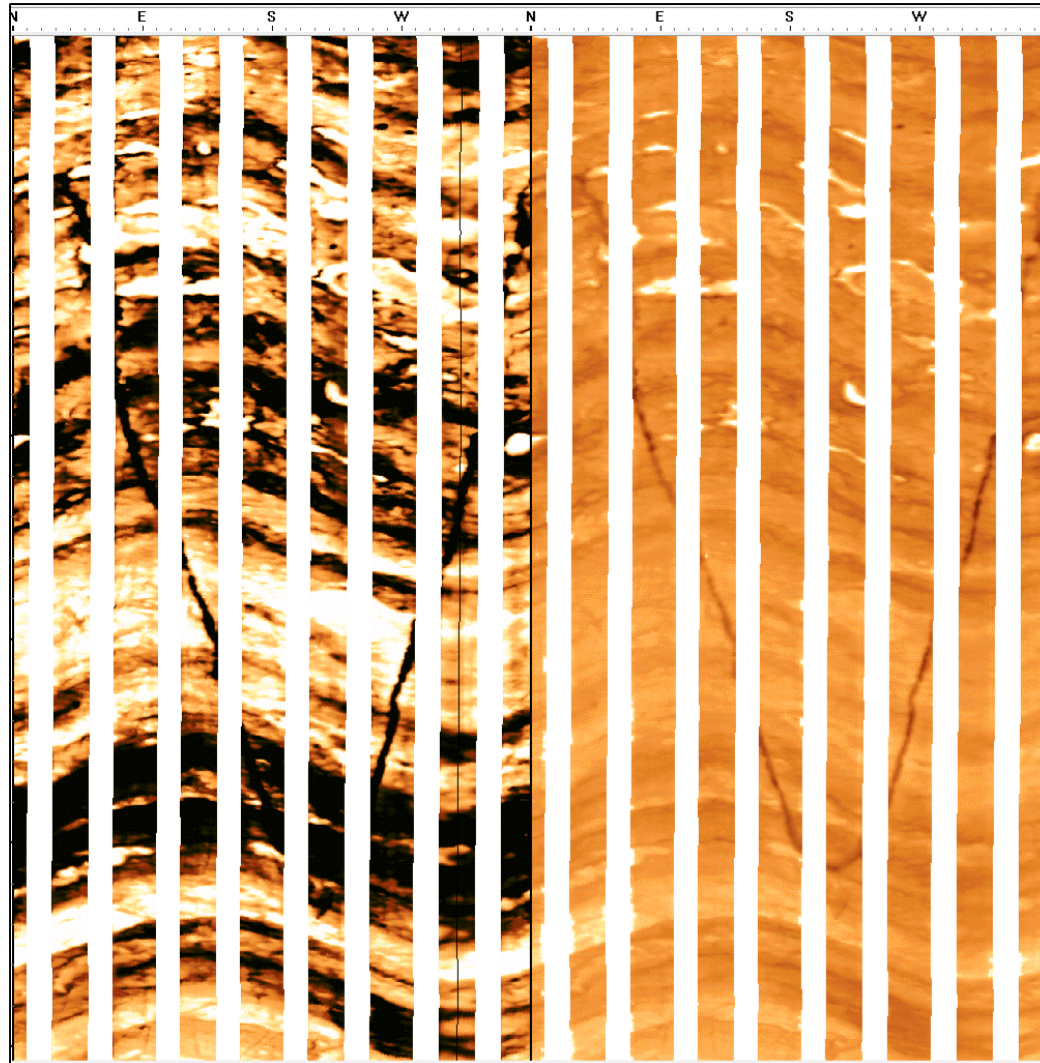
# Непроводящие трещины (Resistive fractures)



# Залеченные трещины на керне (Resistive fractures on the core)



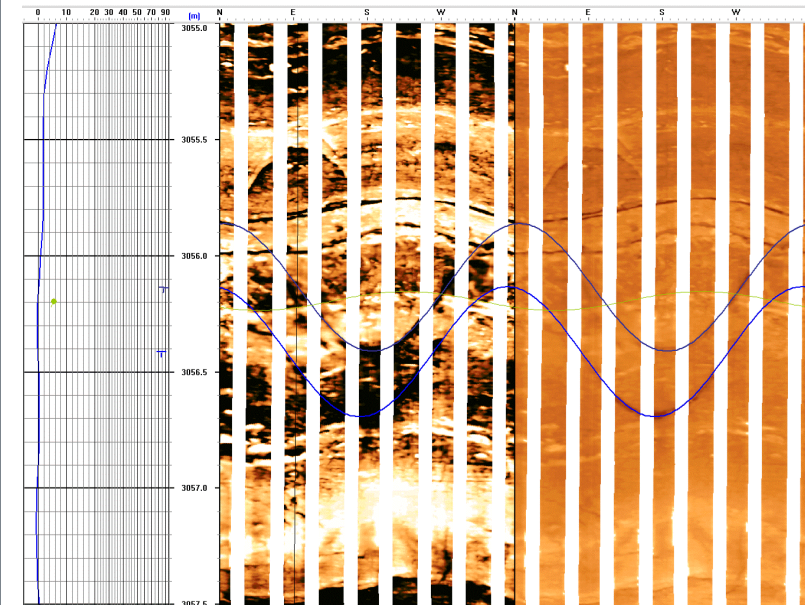
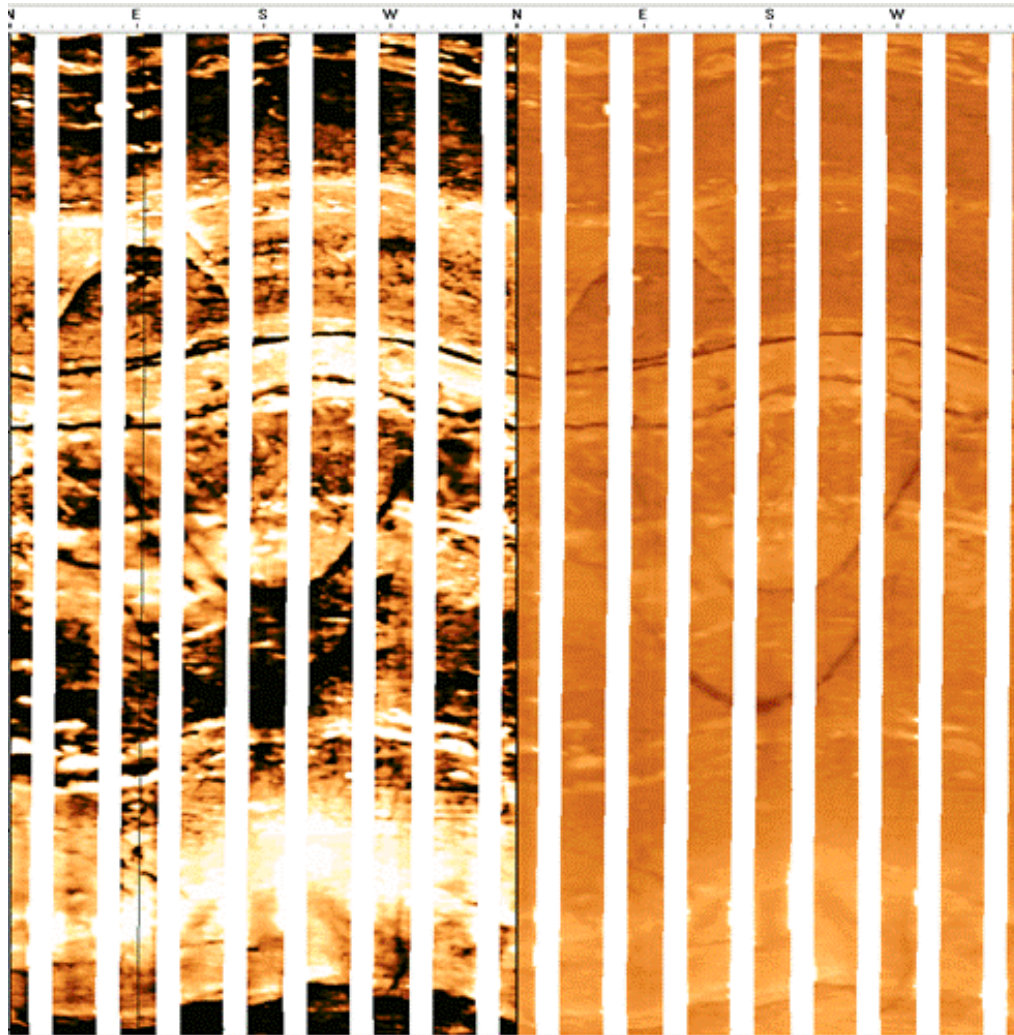
# Проводящие трещины (Conductive fractures)



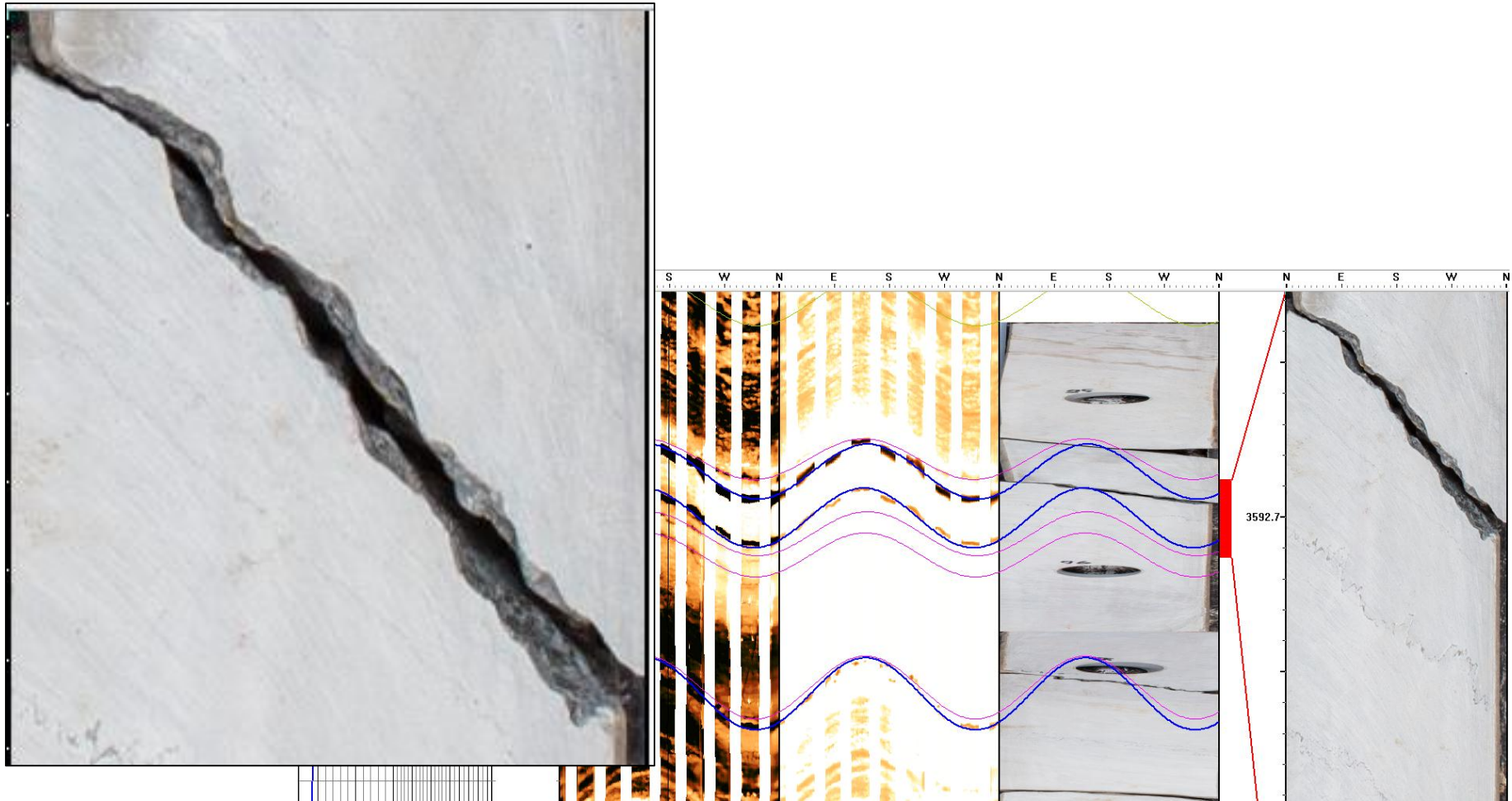
# Открытые трещины на керне (Open fractures on the core)



# Частично проводящие трещины (Discontinuous conductive fractures)



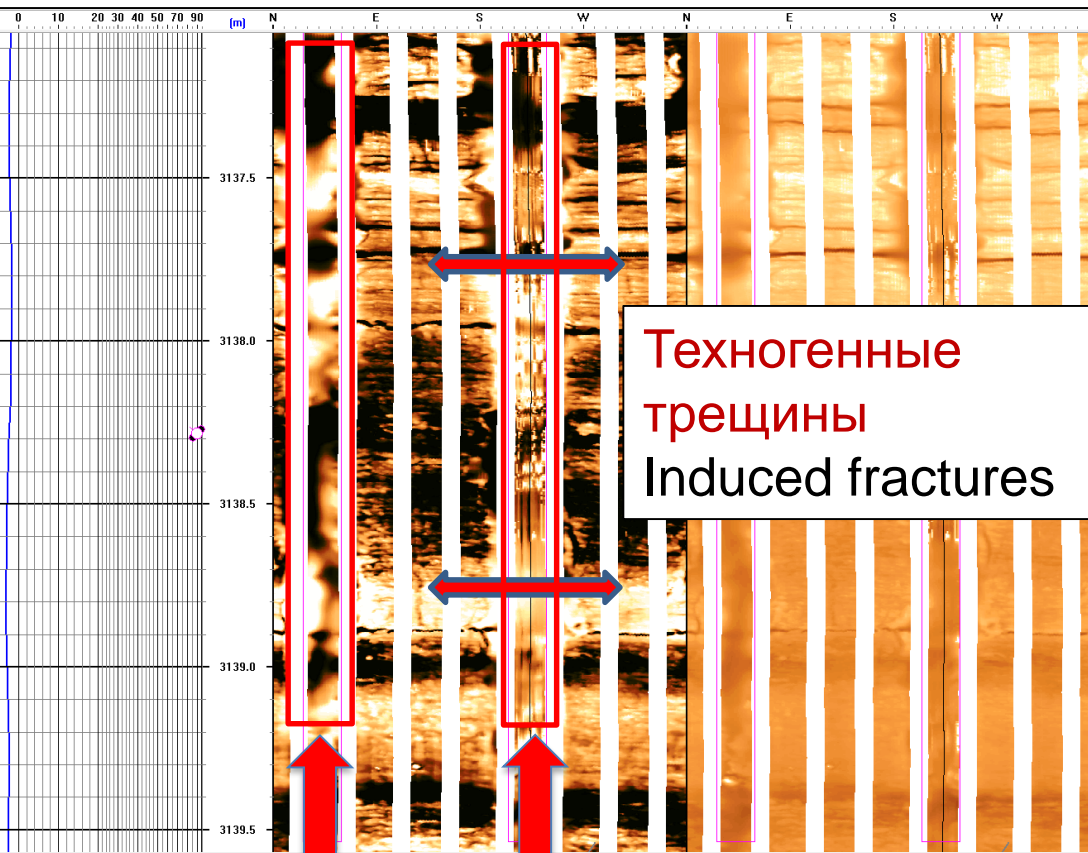
# Трешины залеченные глинистым материалом (Fractures filled with clay)



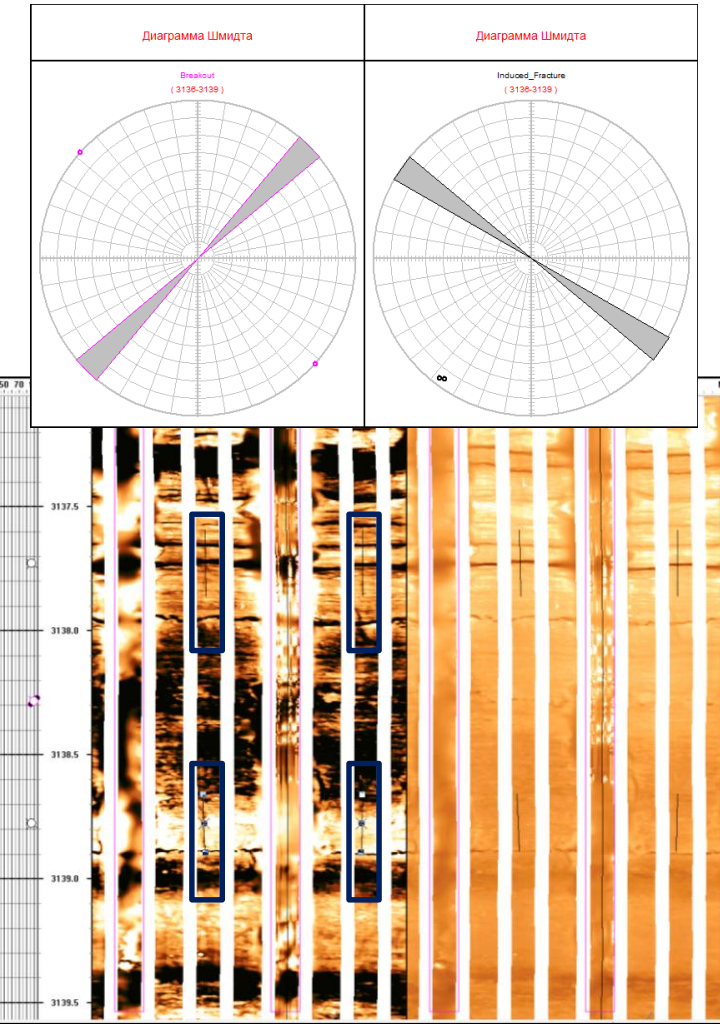
# Пирит в трещинах (Pyrite in fractures)



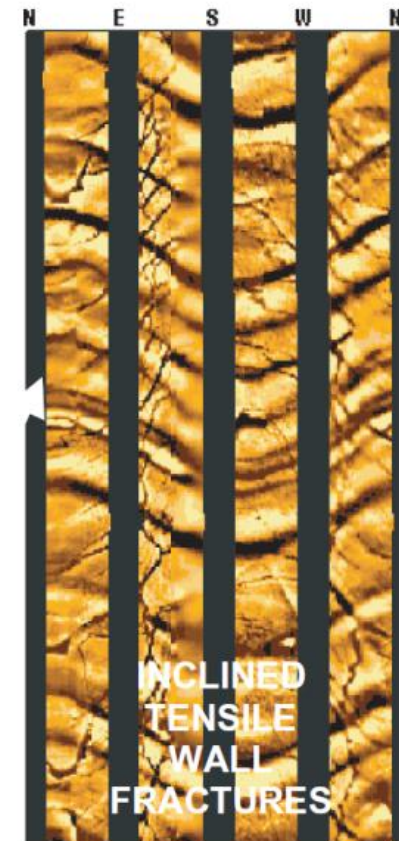
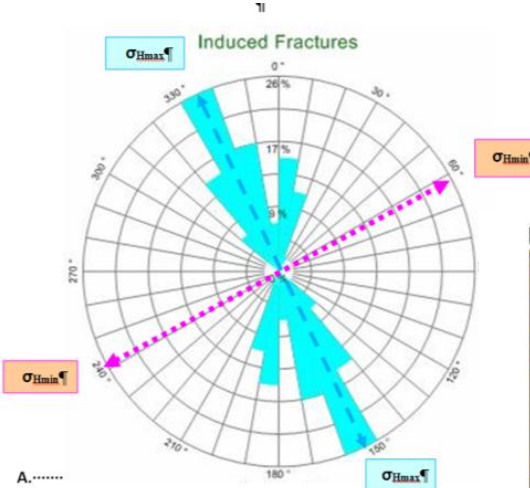
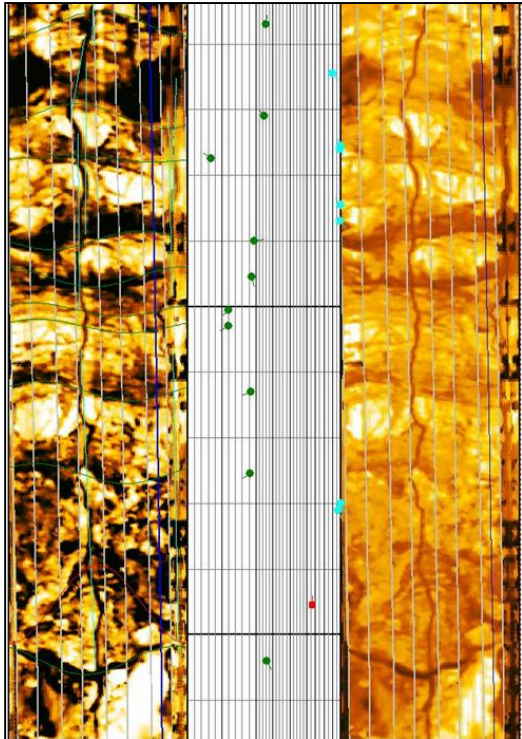
# Вывалы и техногенные трещины (Breakouts and induced fractures)



Вывалы  
Breakouts



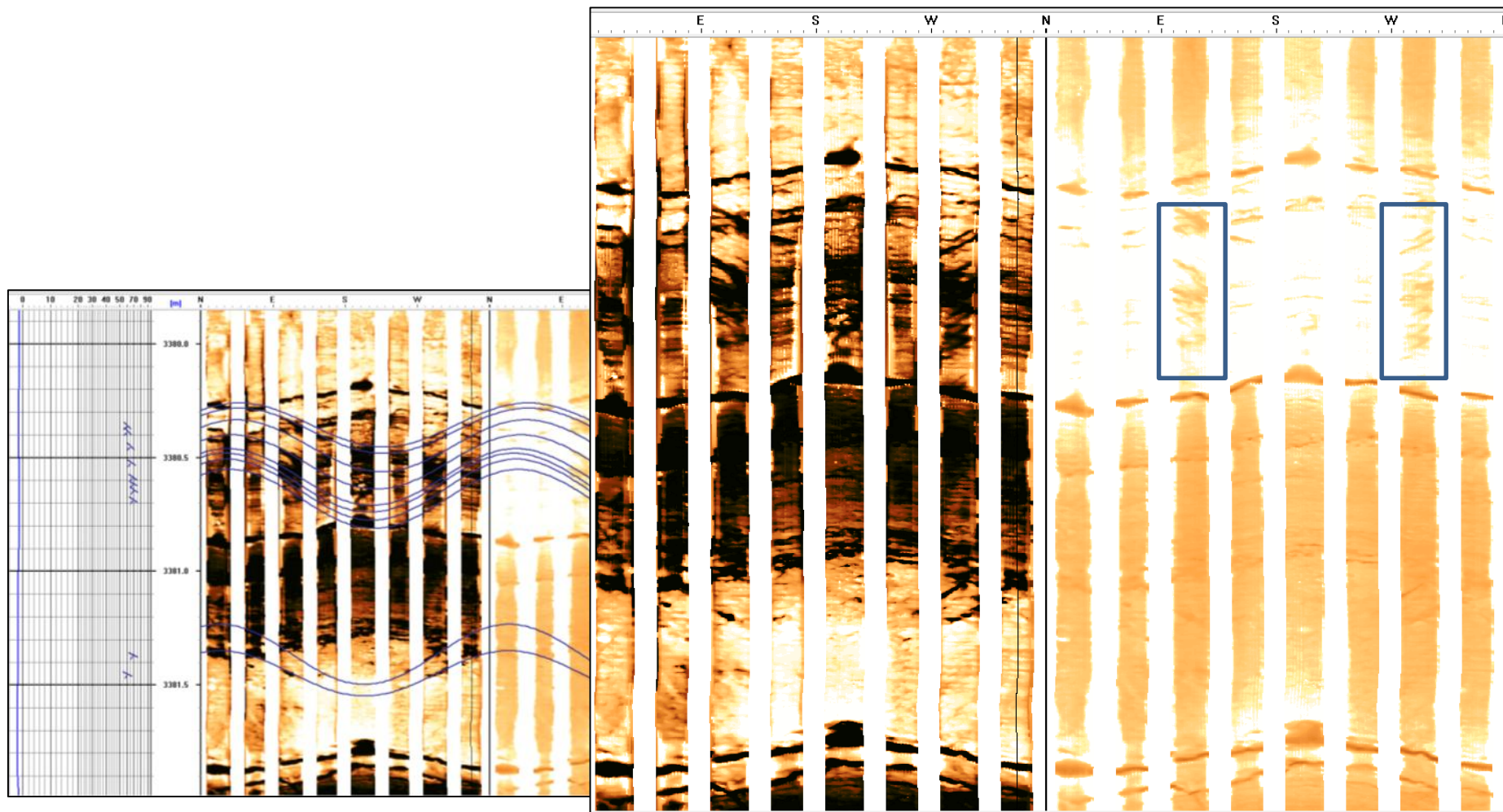
# Техногенные трещины (Drilling induced fractures)



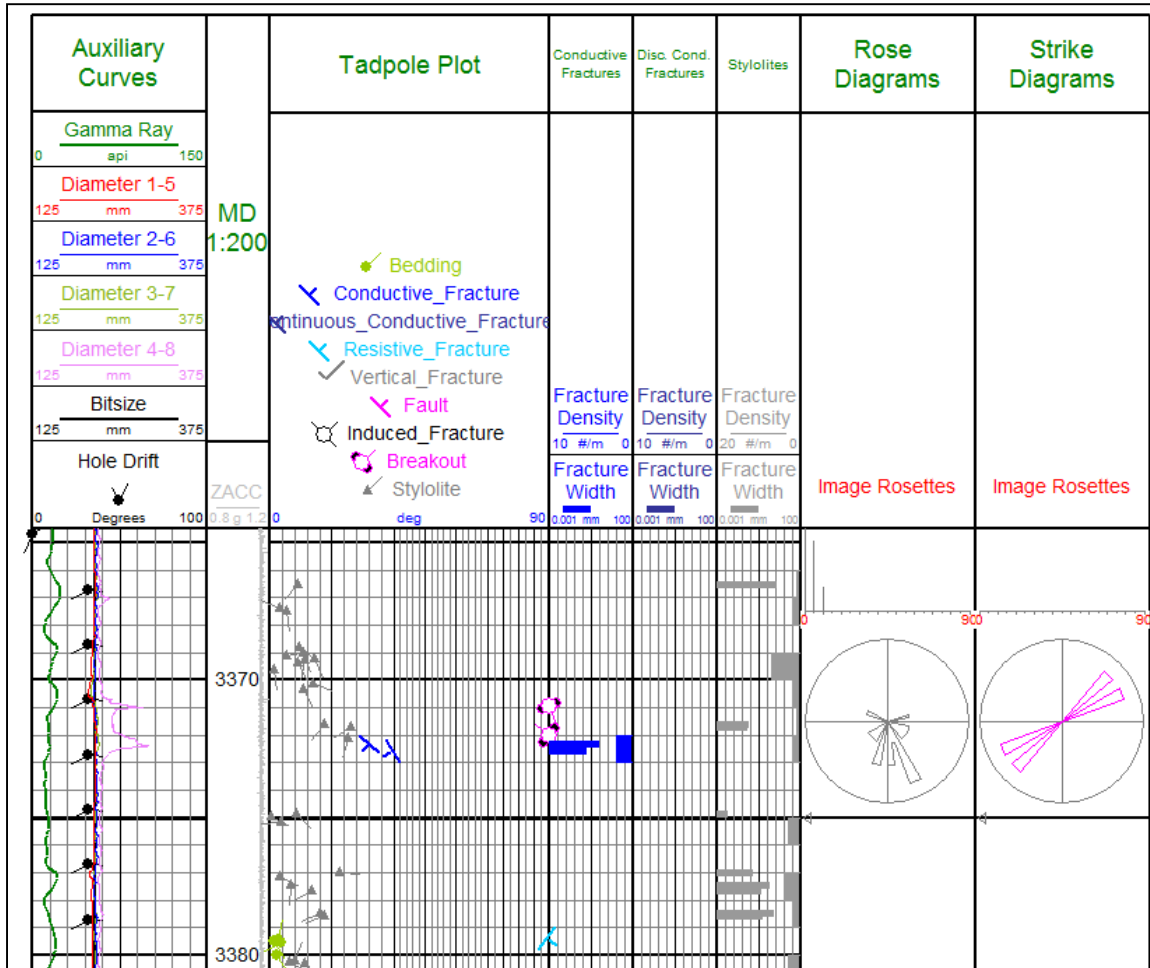
# Непротяженные трещины «Nonsinusoidal» fractures



# Трешины раскрытые в процессе бурения (Drilling enhanced fractures)

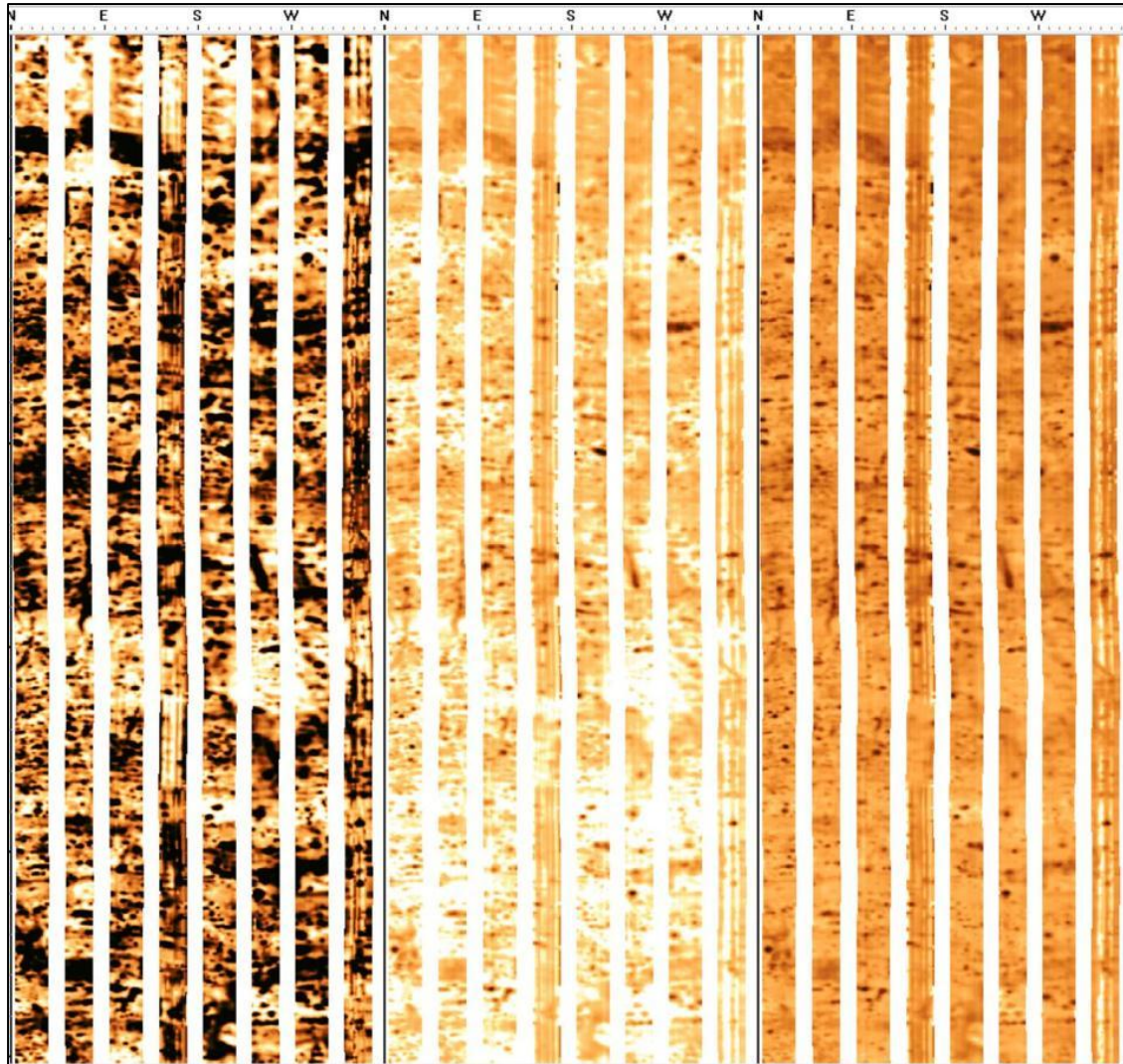


# Расчетные параметры трещин (Calculated parameters of fractures)

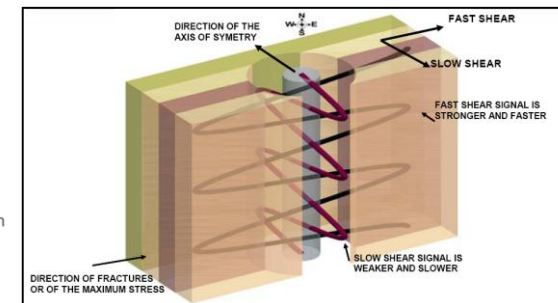
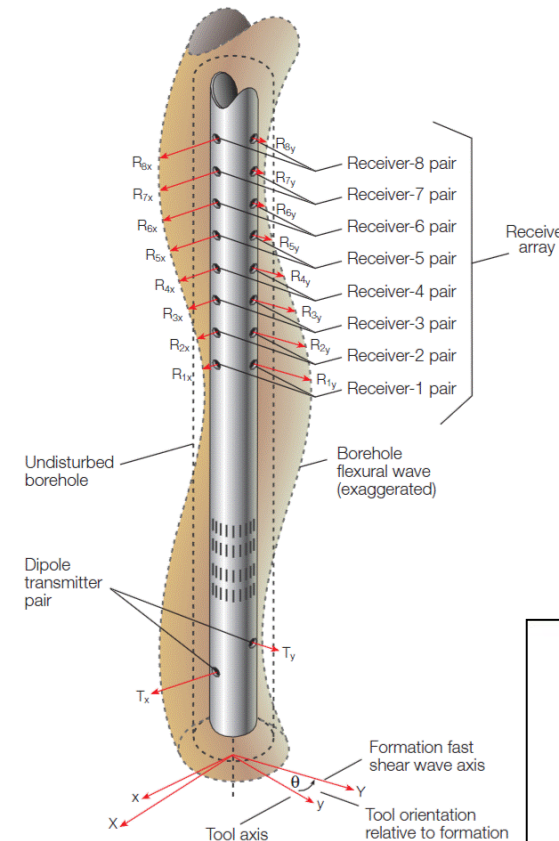


- Угол падения
- Азимут падения
- Азимут простирания
- Плотность
- Раскрытие
- Длина
- Dip
- Azimuth
- Strike
- Density
- Aperture
- Length

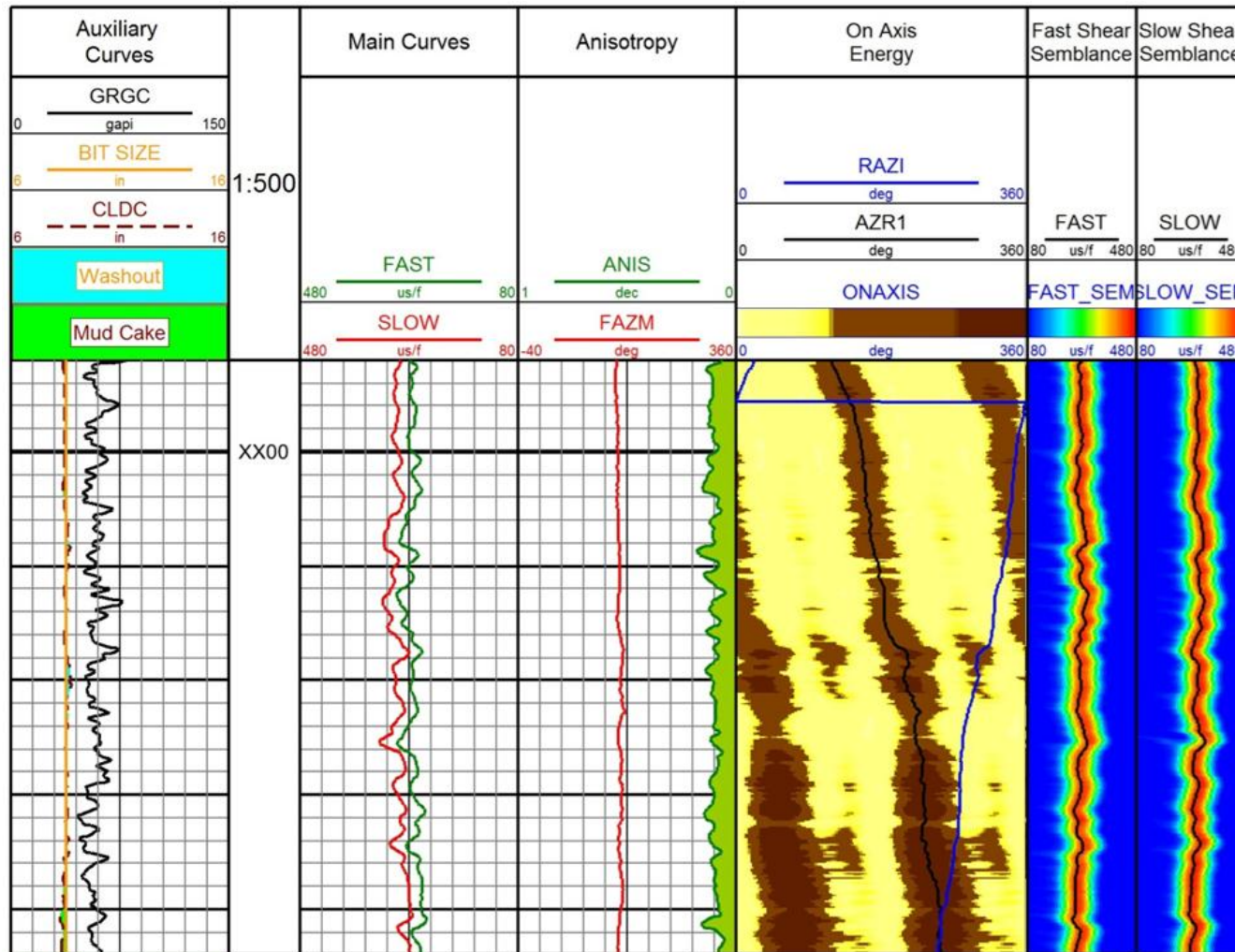
# Каверны на изображении (Vugs on the image)



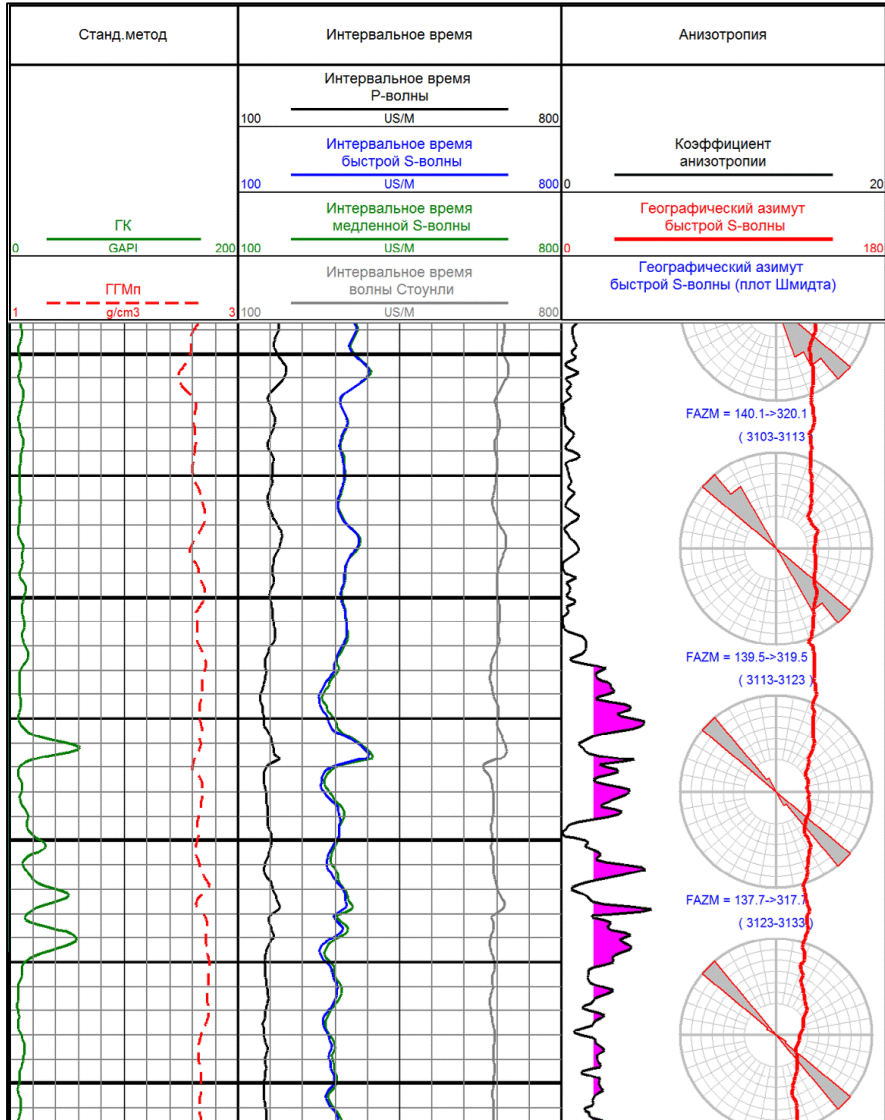
# Кросс-дипольный акустический метод (Crossed dipole acoustic)



# Определение направления максимального горизонтального стресса по карте энергий (Maximum stress direction on the Energy map)

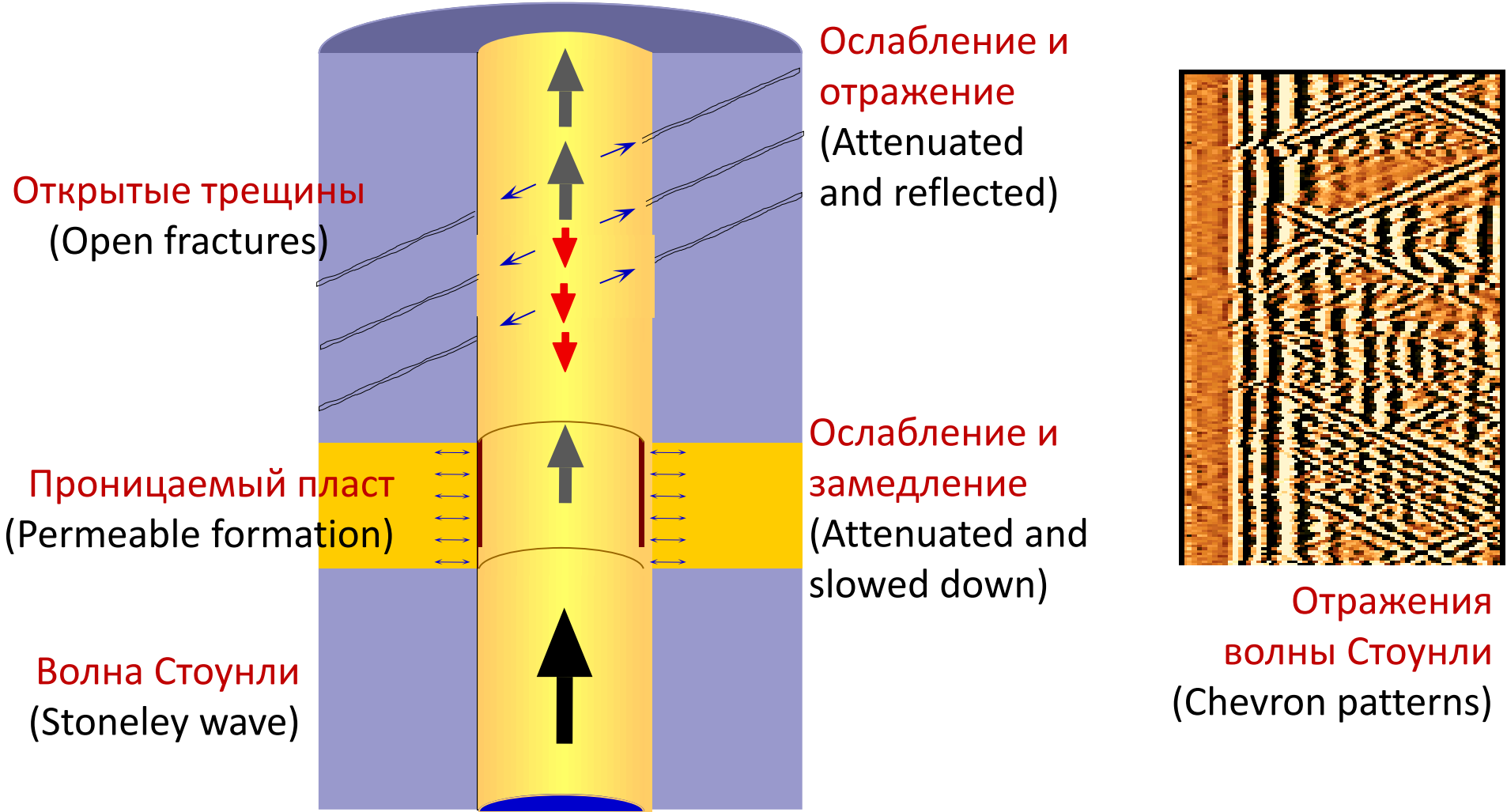


# Анизотропия (Anisotropy)

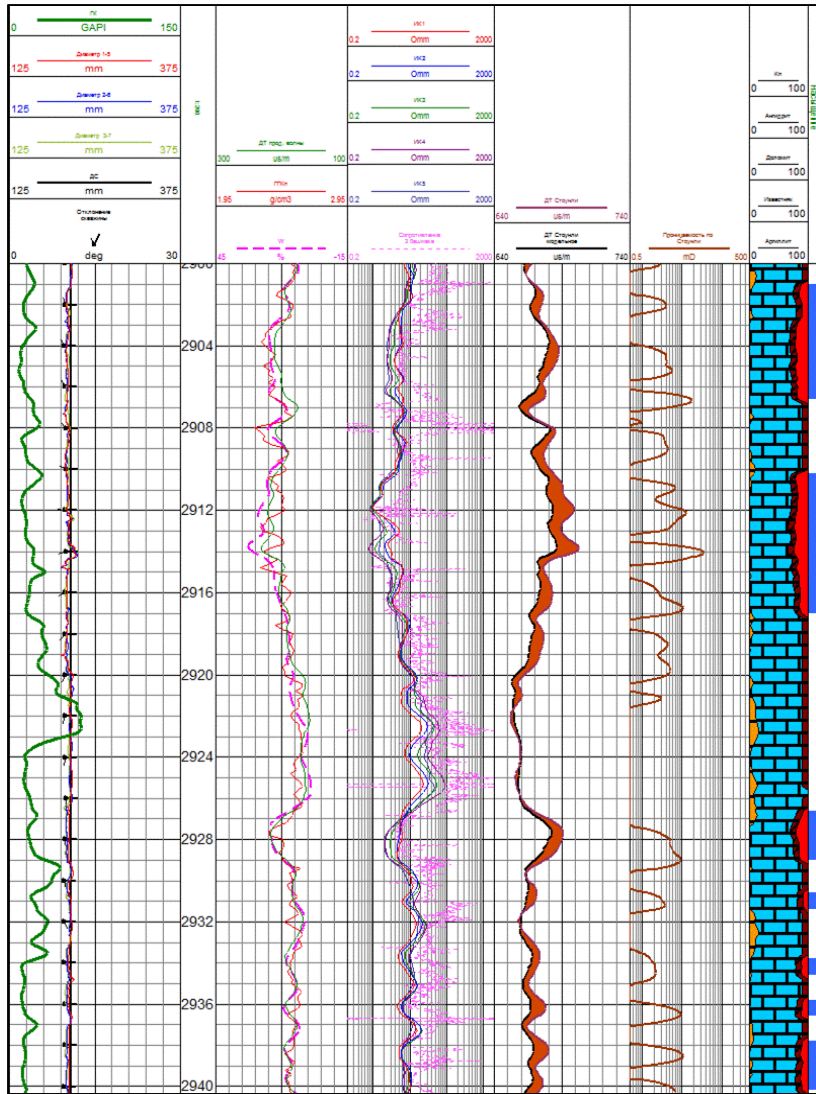


- Интервальное время быстрой S (изгибной) волны
- Интервальное время медленной S (изгибной) волны
- Азимут анизотропии
- Коэффициент анизотропии
- Slowness of fast S (flexural) wave
- Slowness of slow S (flexural) wave
- Azimuth of anisotropy
- Anisotropy coefficient

# Анализ волны Стоунли (Stoneley wave analyses)

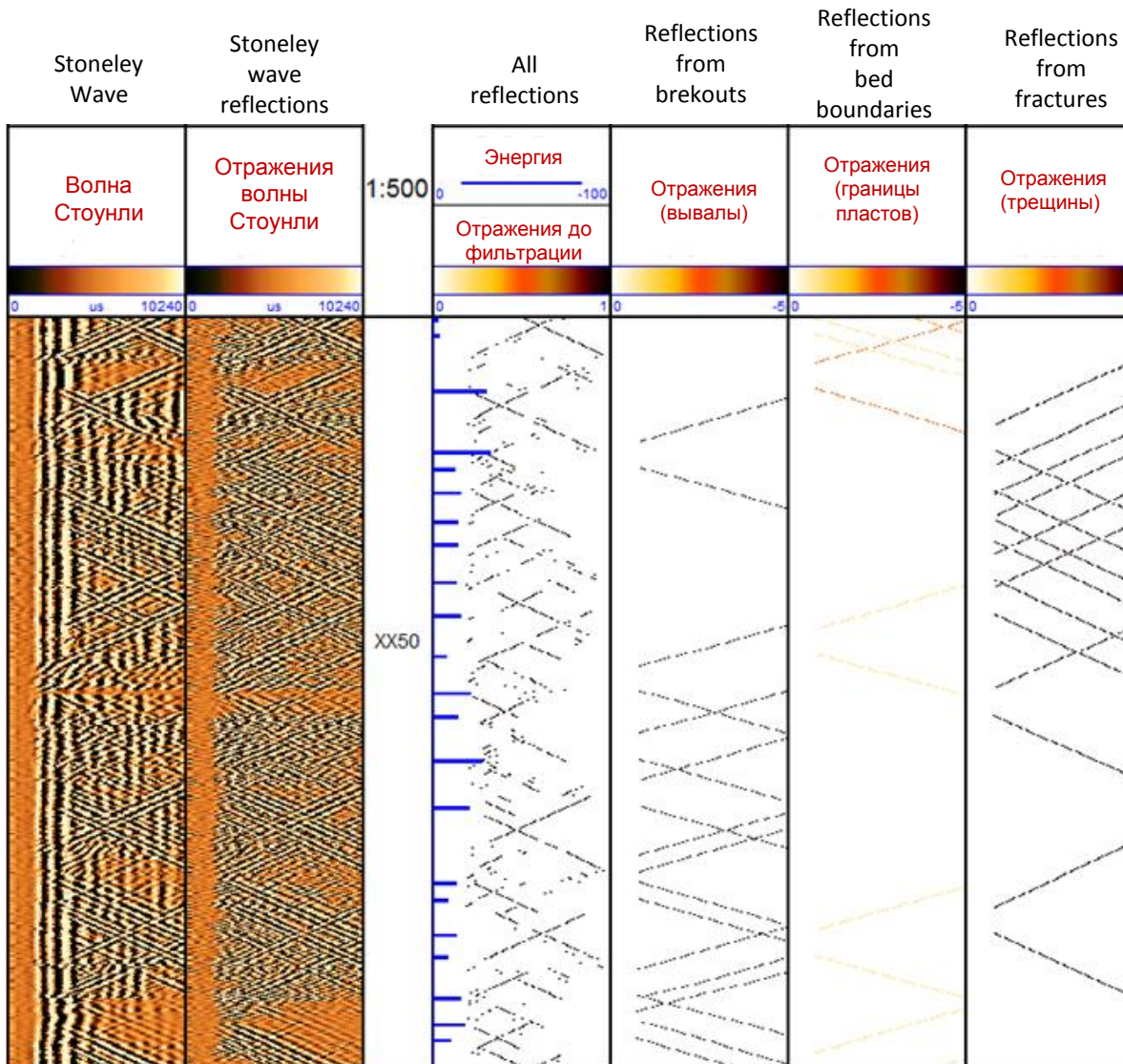


# Проницаемость по волне Стоунли (Stoneley permeability)



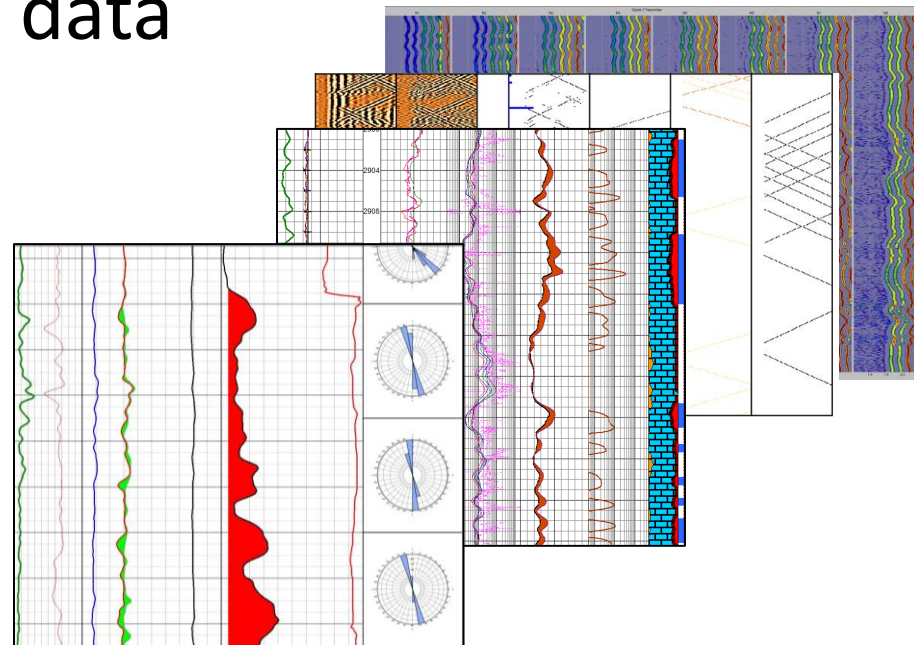
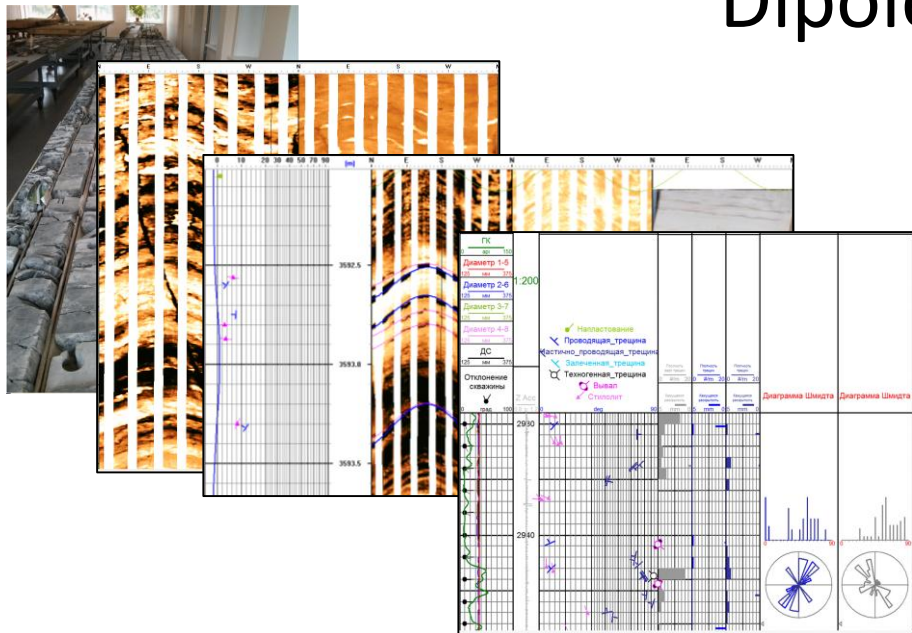
- Интервальное время волны Стоунли
- Модельное интервальное время волны Стоунли
- Проницаемость
- Slowness of Stoneley wave
- Modeled Slowness of Stoneley wave
- Permeability

# Отражения волны Стоунли (Stoneley wave reflections)

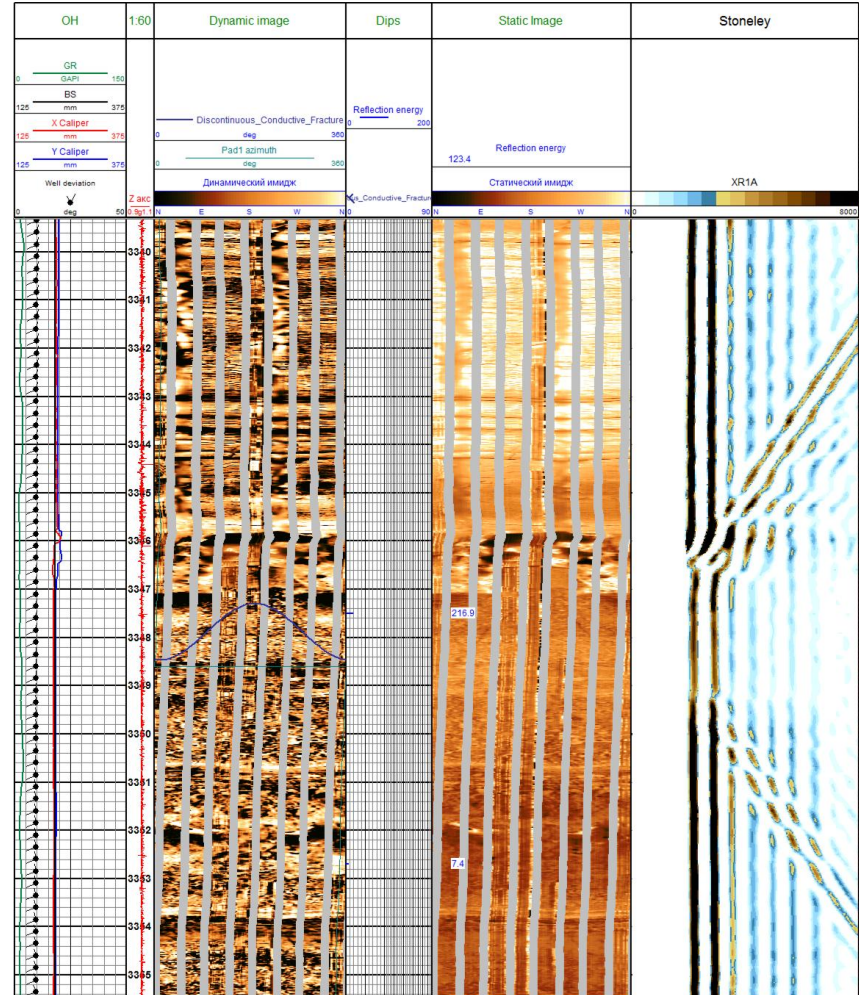
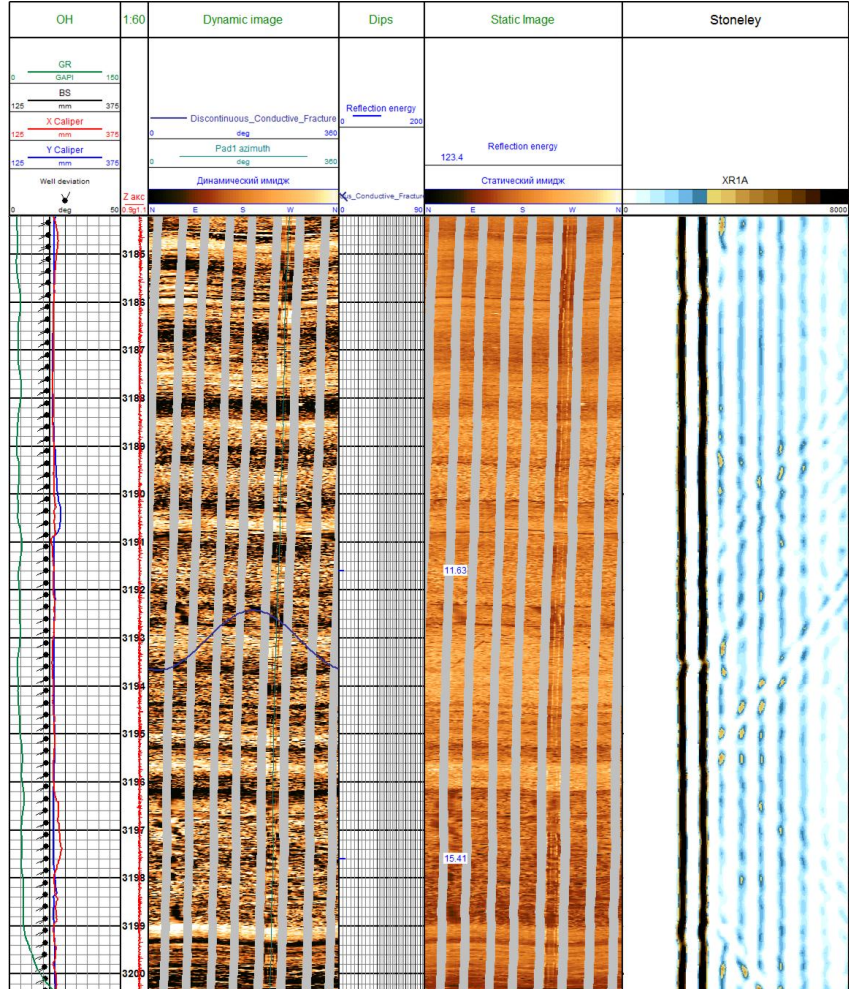


# Примеры совместной интерпретации данных кросс дипольного АК и электрического микроимиджера

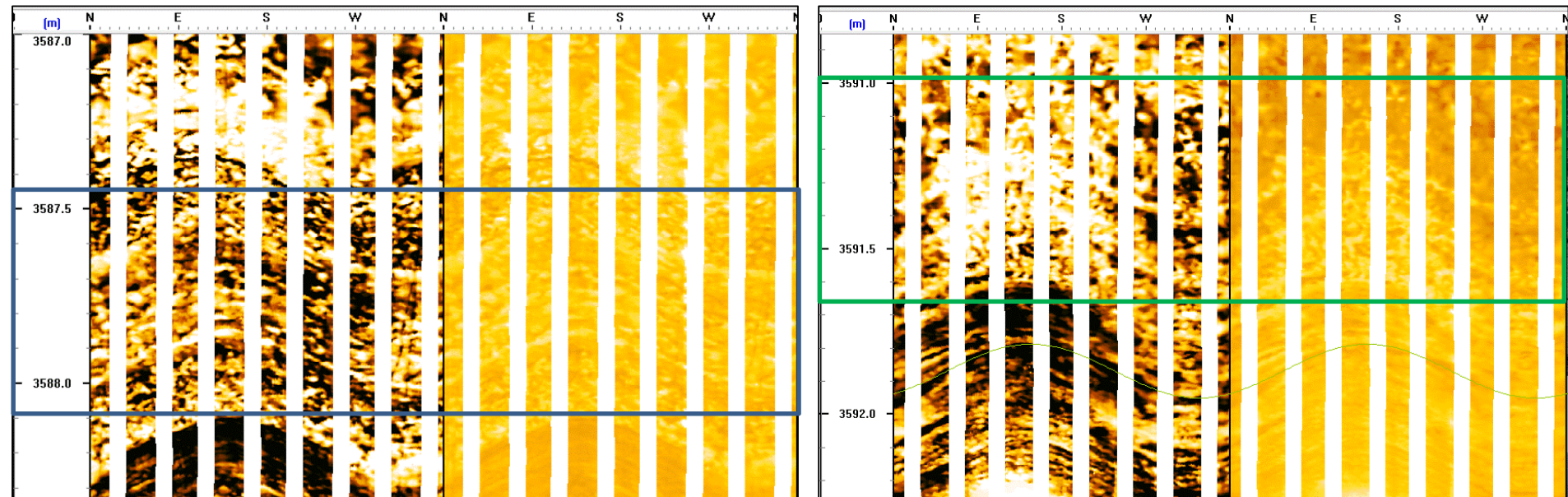
## Complex interpretation of Imager and Crossed Dipole data



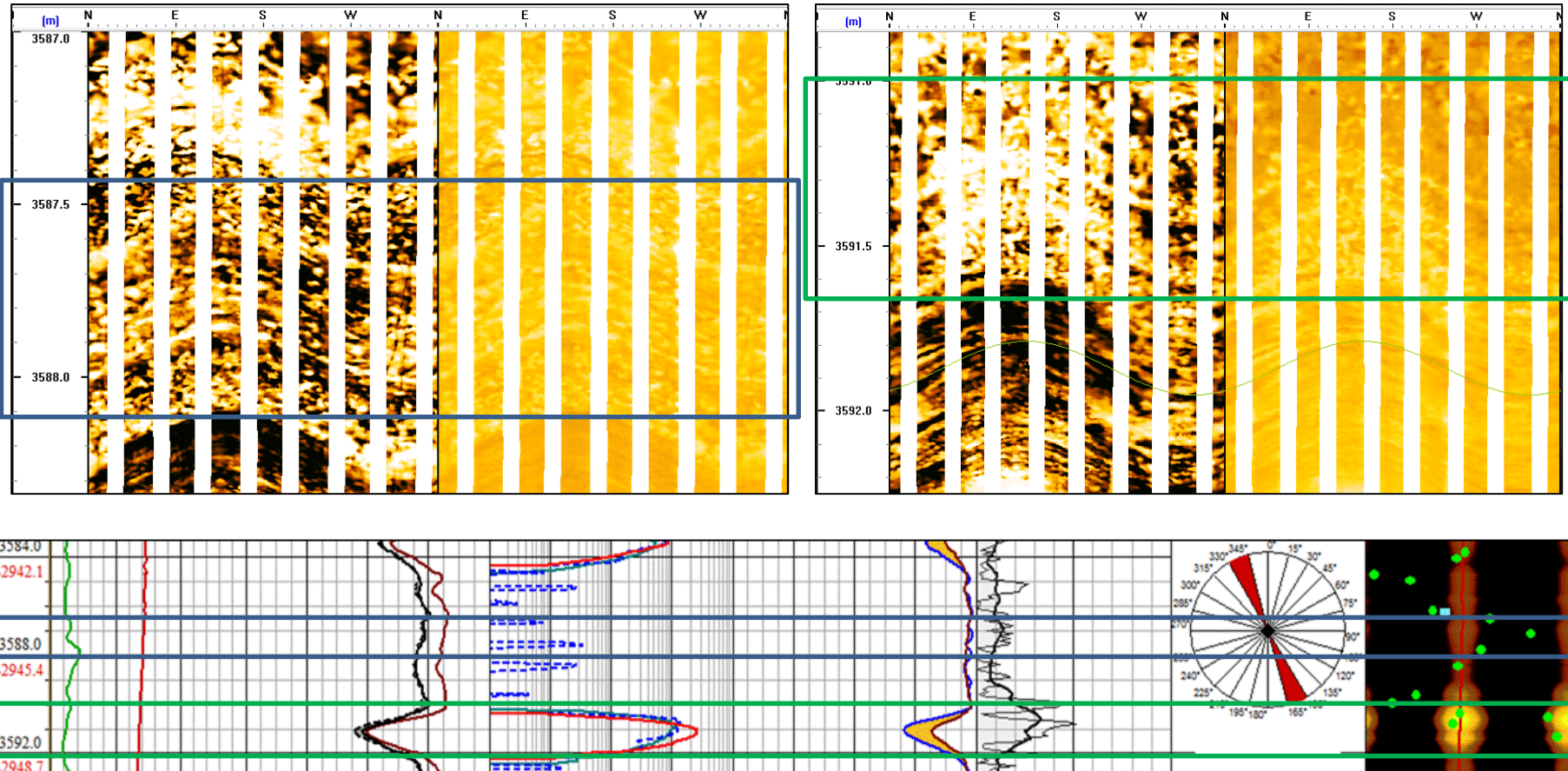
# Отражения волн Стоунли и трещины на изображении (Stoneley wave reflections and fractures from Image)



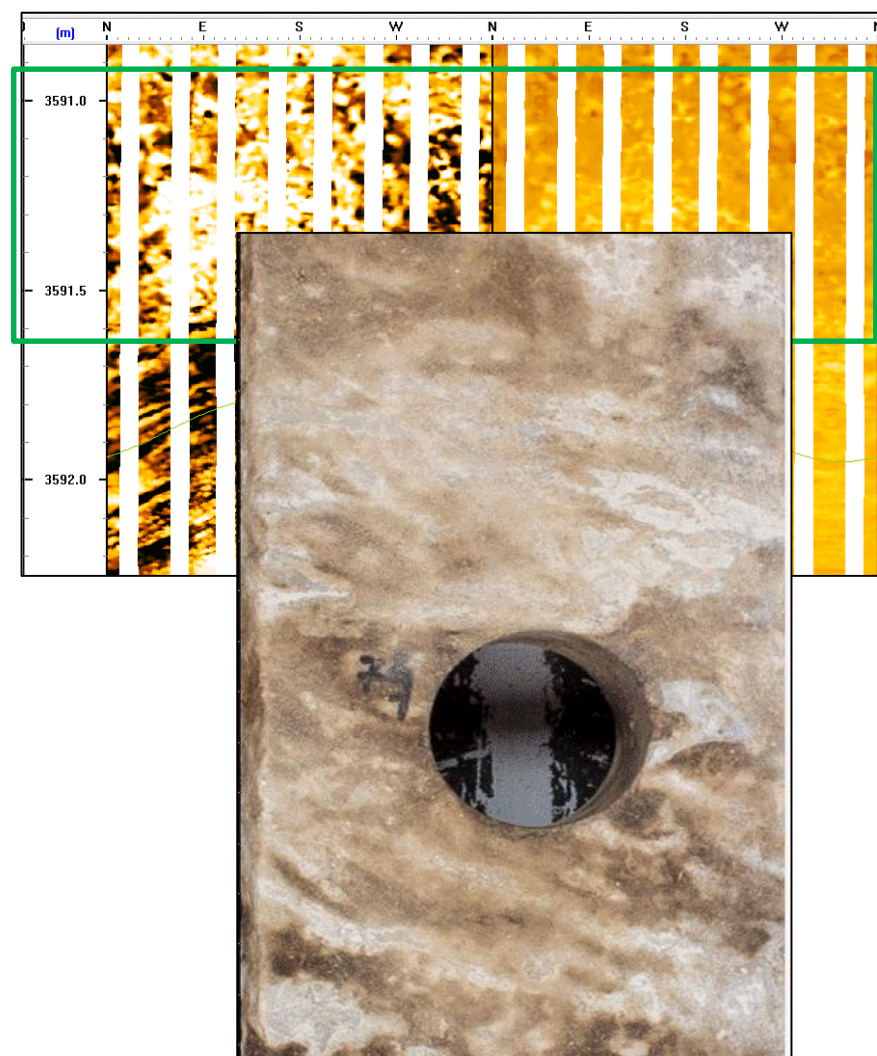
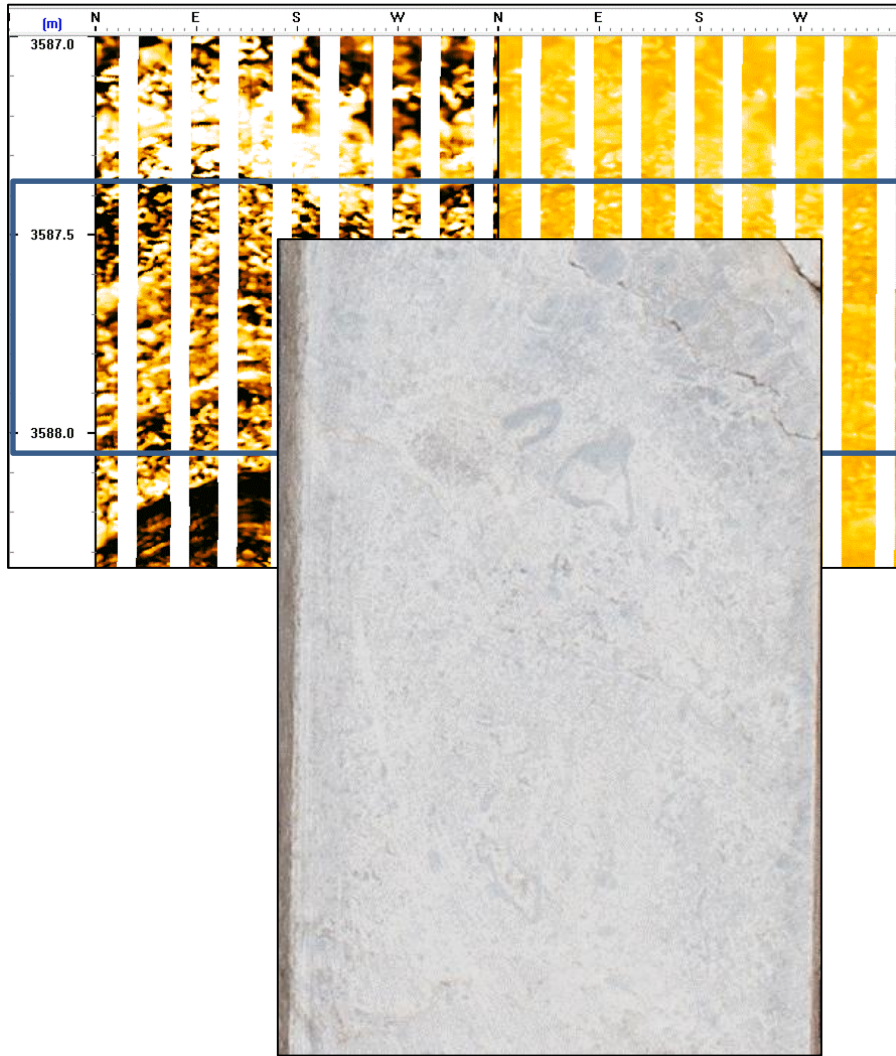
# Интервалы со схожими имиджами (Visible similarity on the image)



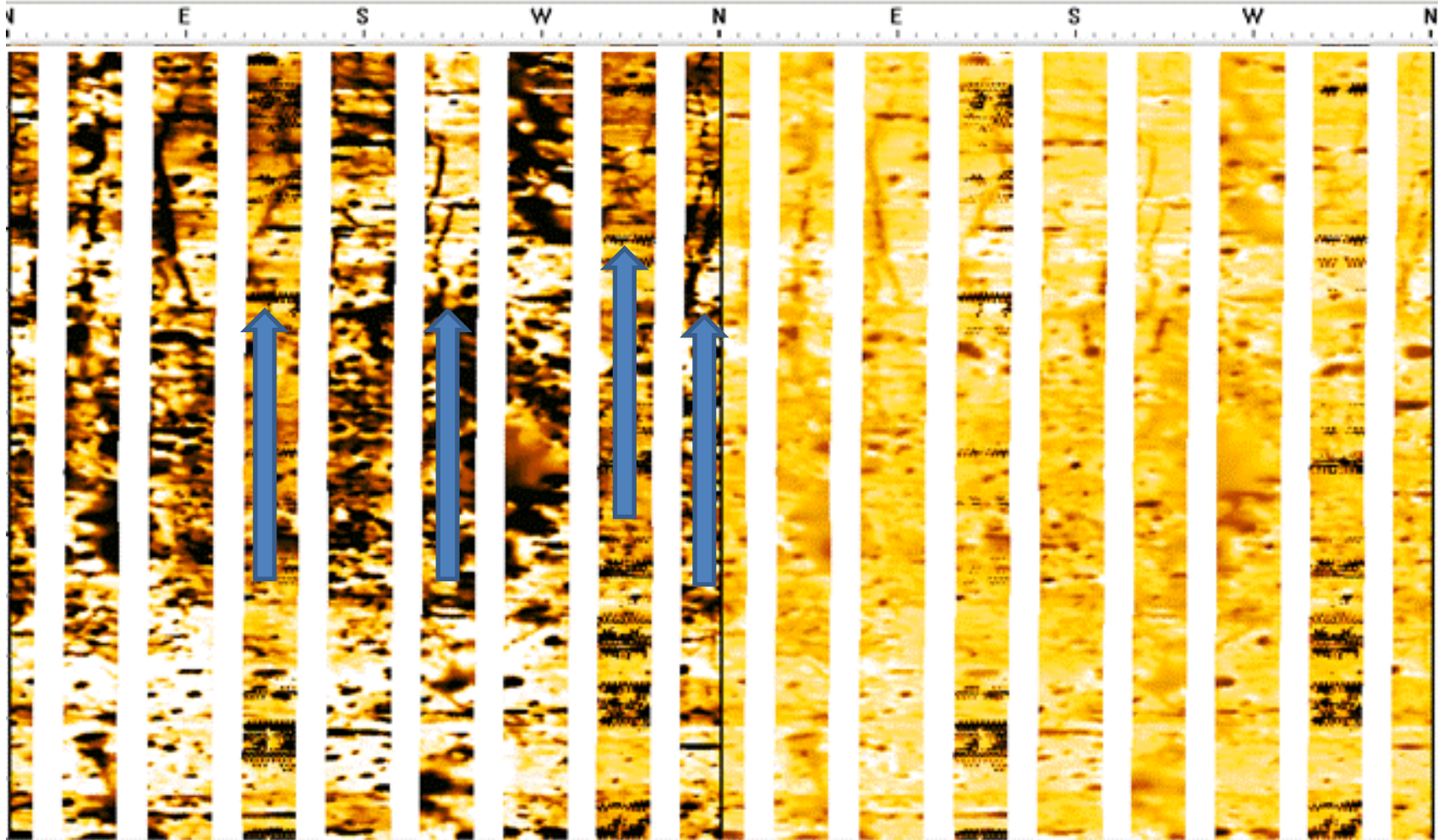
# Привлечение данных анализа волны Стоунали (Stoneley wave helps to identify permeable zones)



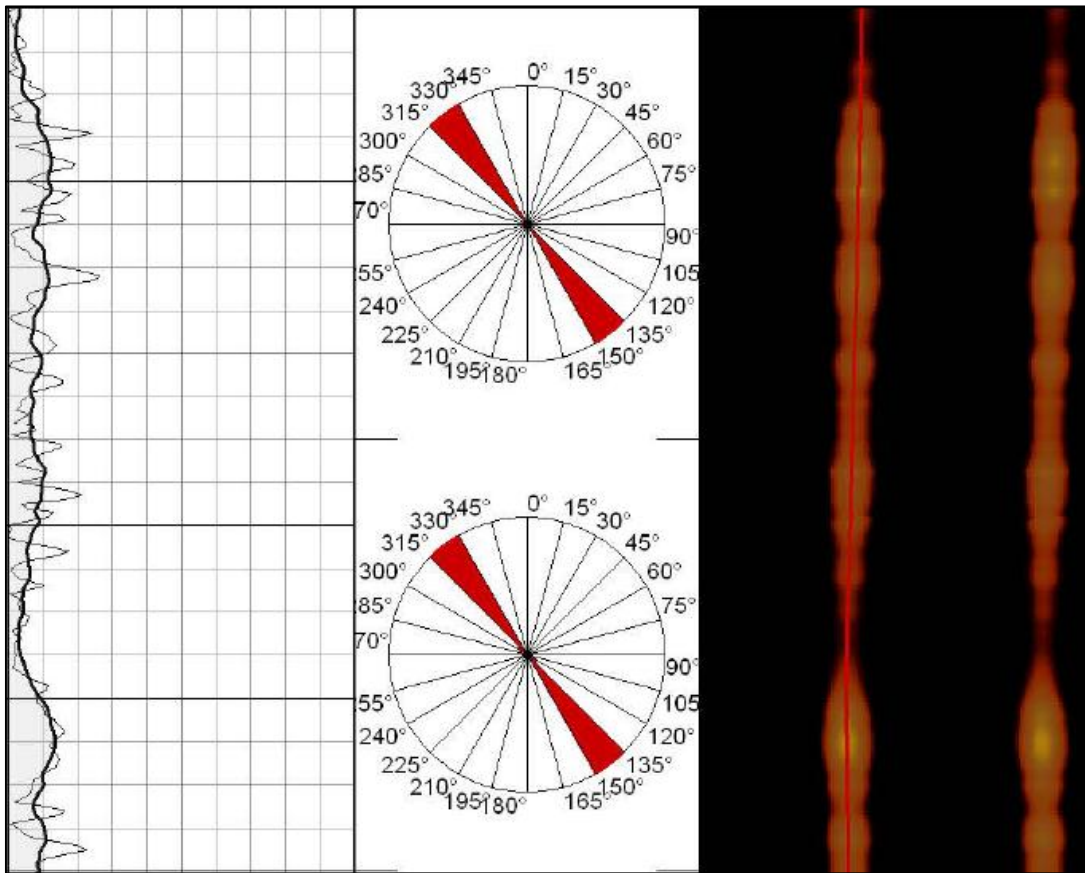
# Глинистые включения и микрокаверны (Texture with clay particles and vugs)



# Разделение трещин по видам (Distinguishing between fractures on the image)



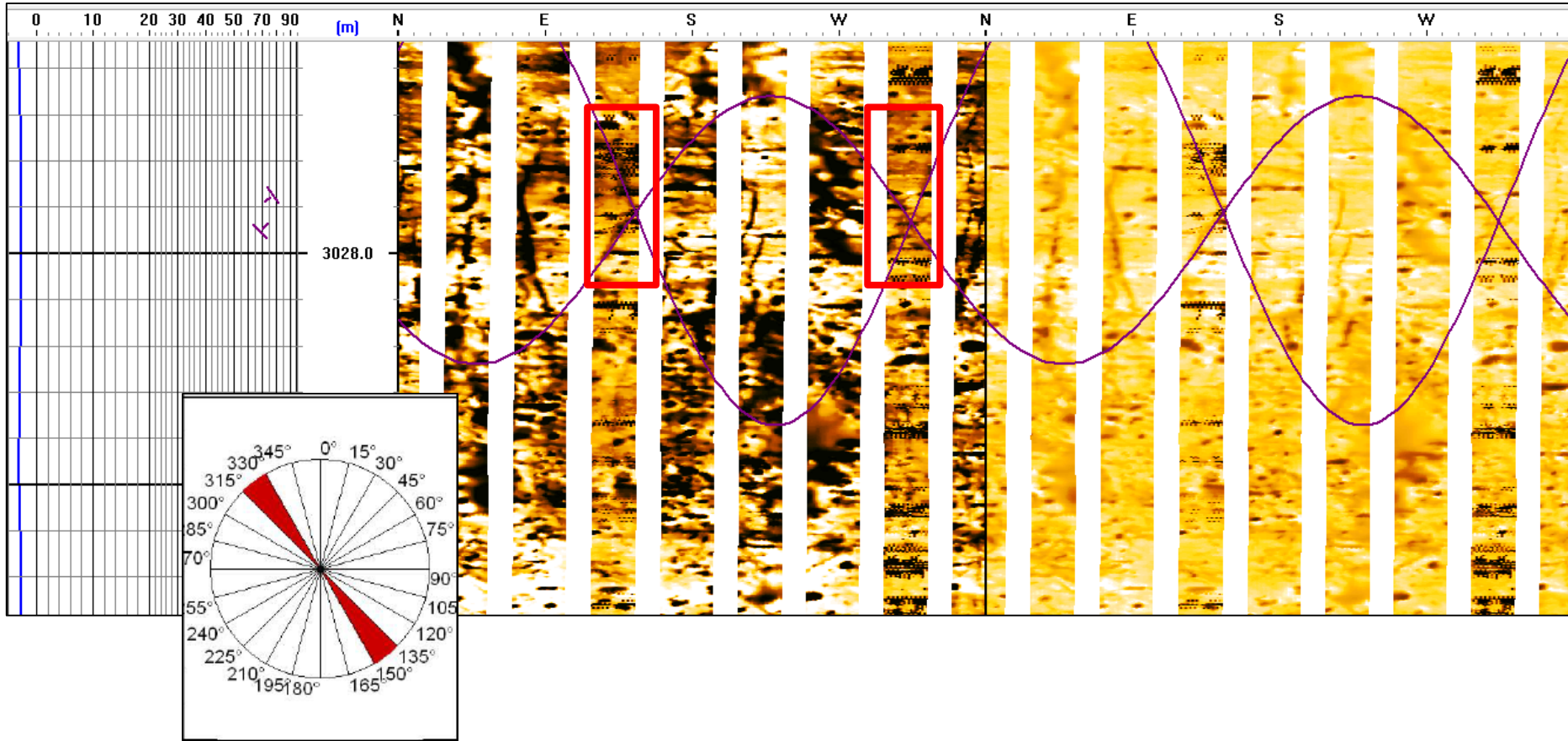
# Направление максимального стресса (Maximum stress direction)



Направление максимального горизонтального напряжения определяется по данным кросс дипольного АК в интервале, где не выявлено трещин на имидже

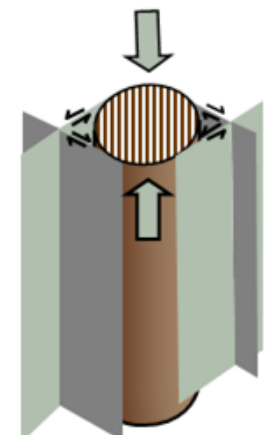
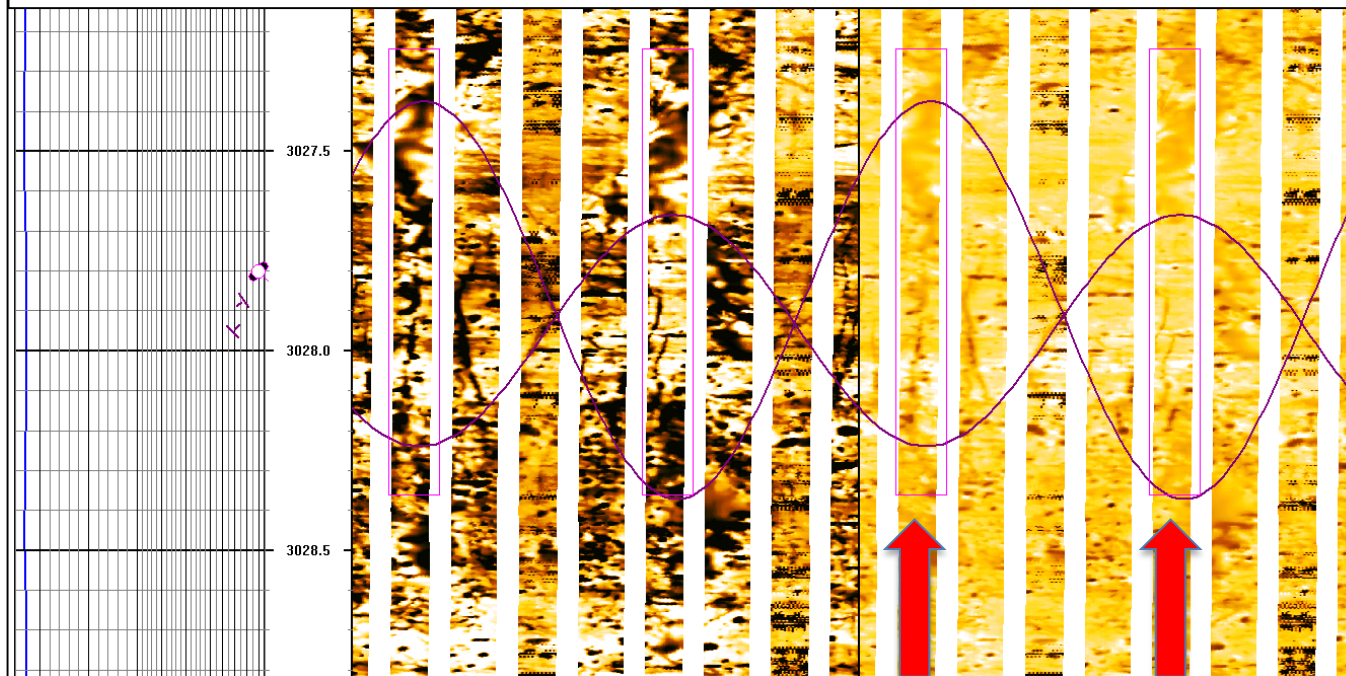
Maximum horizontal stress direction from crossed dipole acoustic data helps to identify induced fractures on the image.

# Трещины раскрыты в процессе бурения в направлении максимального стресса (Drilling enhanced fractures align with maximum stress direction)

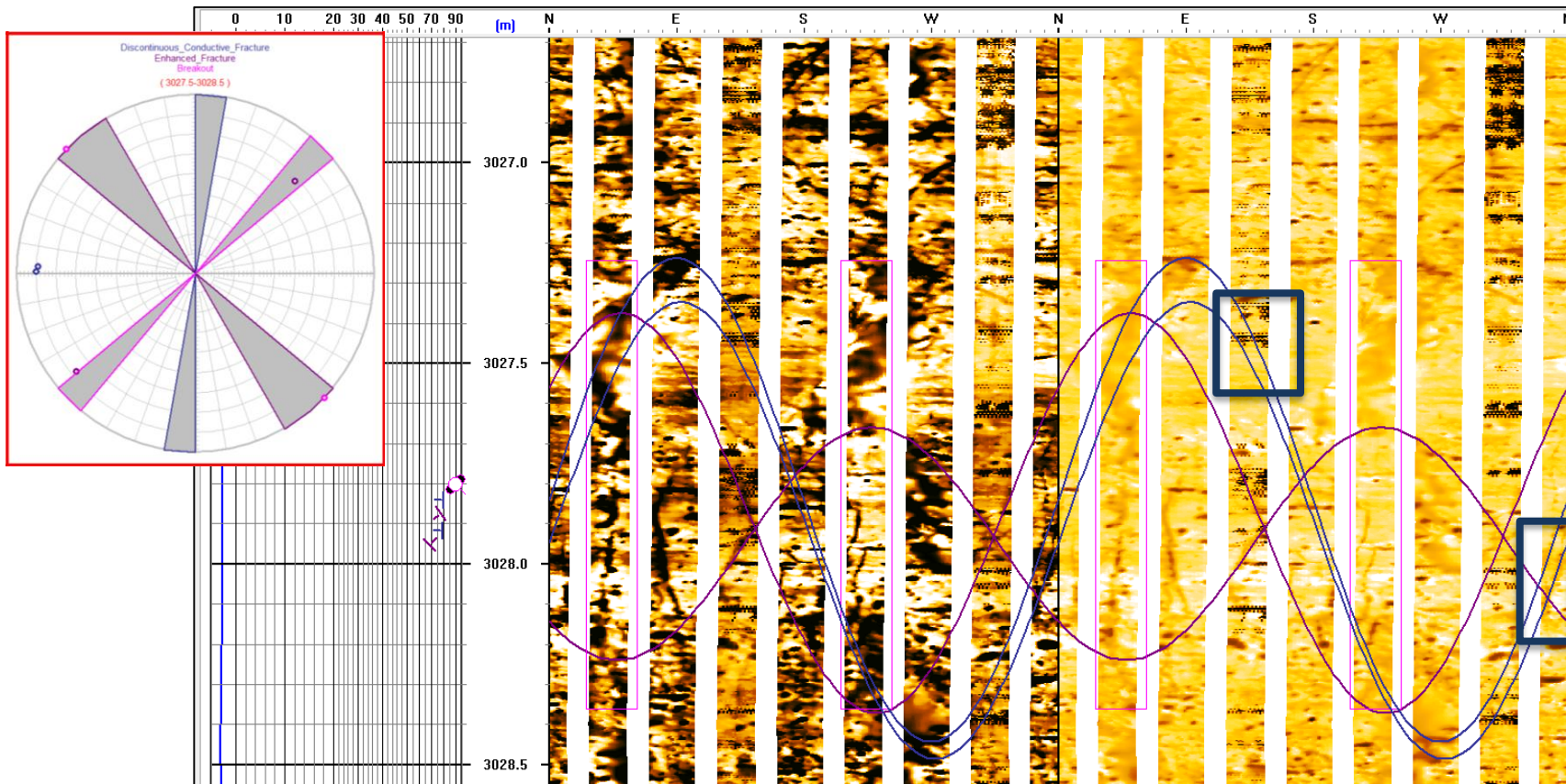


# Техногенные трещины в направлении минимального стресса (Breakout net fractures align with minimum stress direction)

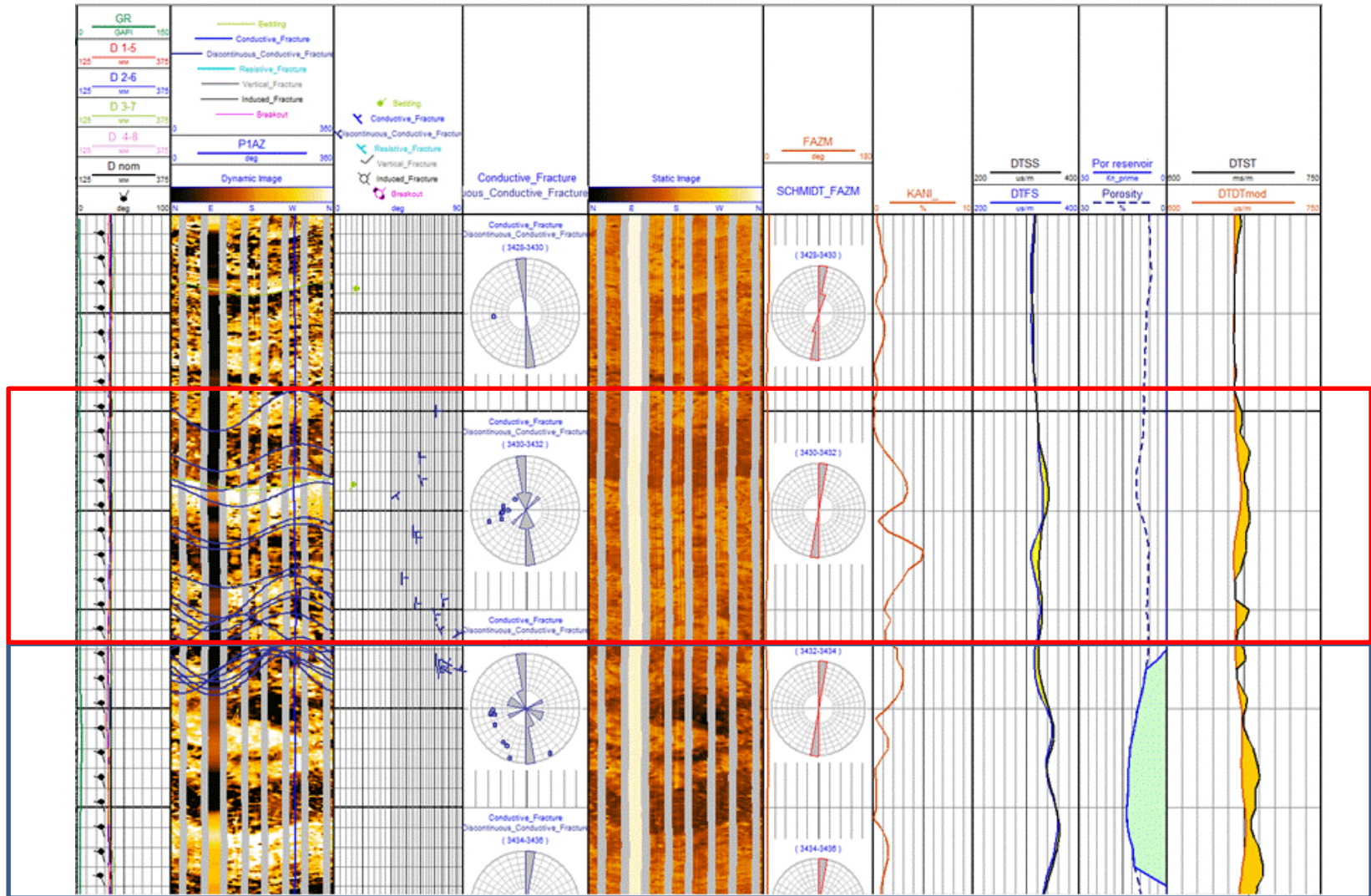
В направлении минимального стресса образуются трещины предшествующие вывалу стенок  
Fractures of breakout occur along minimum stress direction



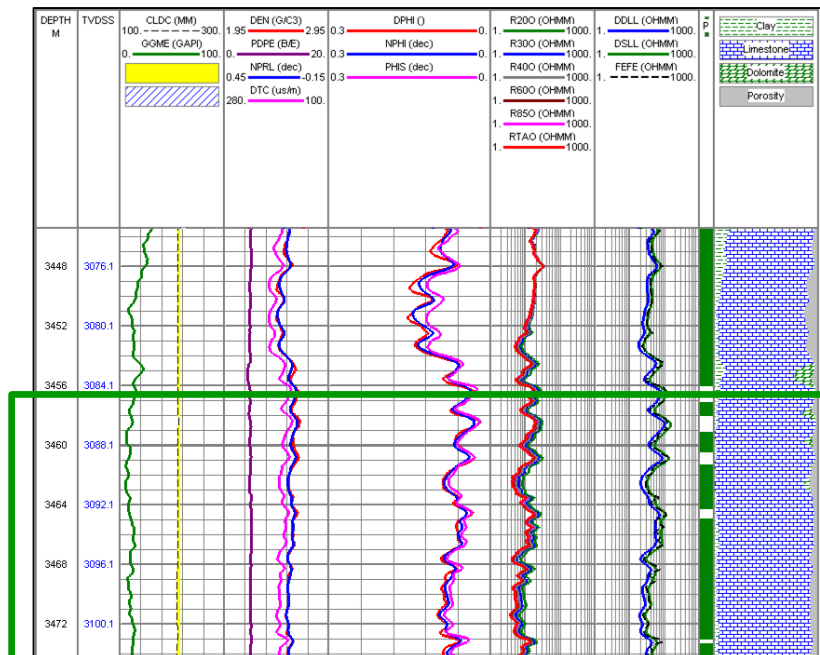
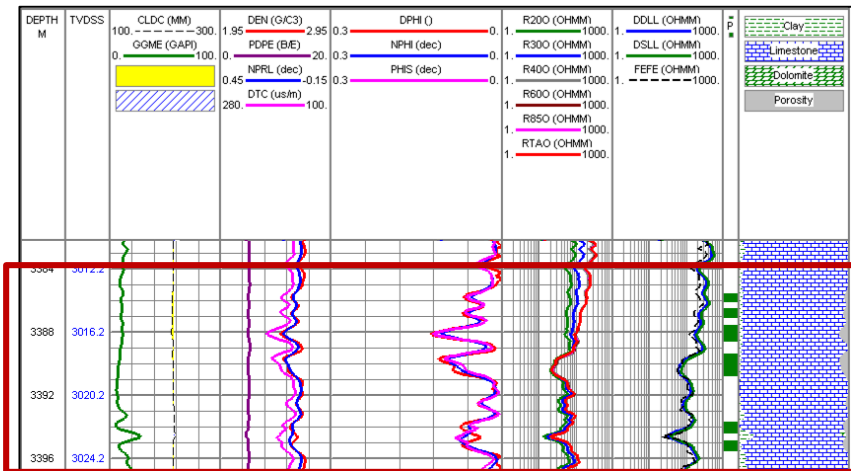
# Частично проводящие трещины (Discontinuous conductive fractures)



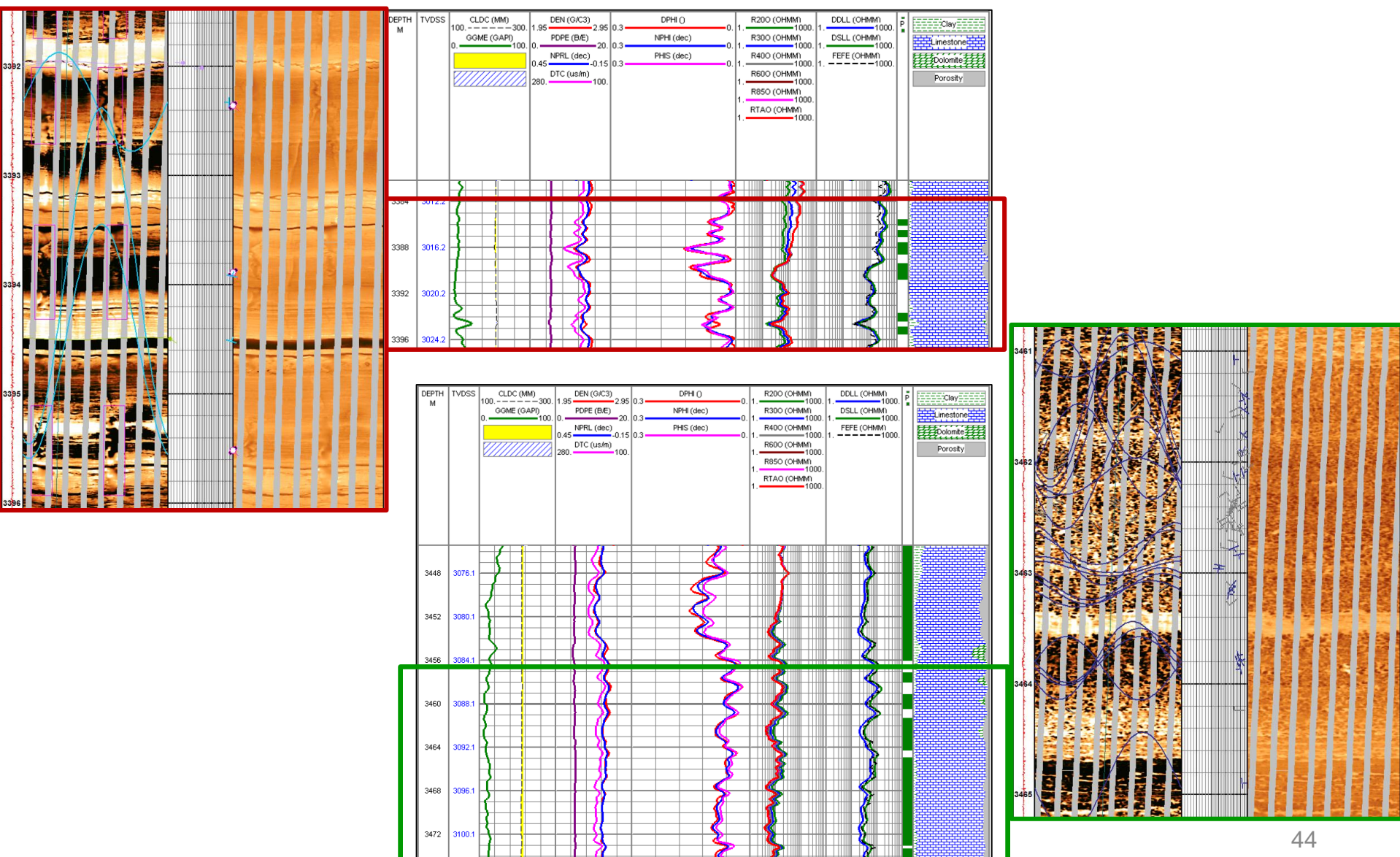
# Комплексный анализ результатов (Complex analyses)



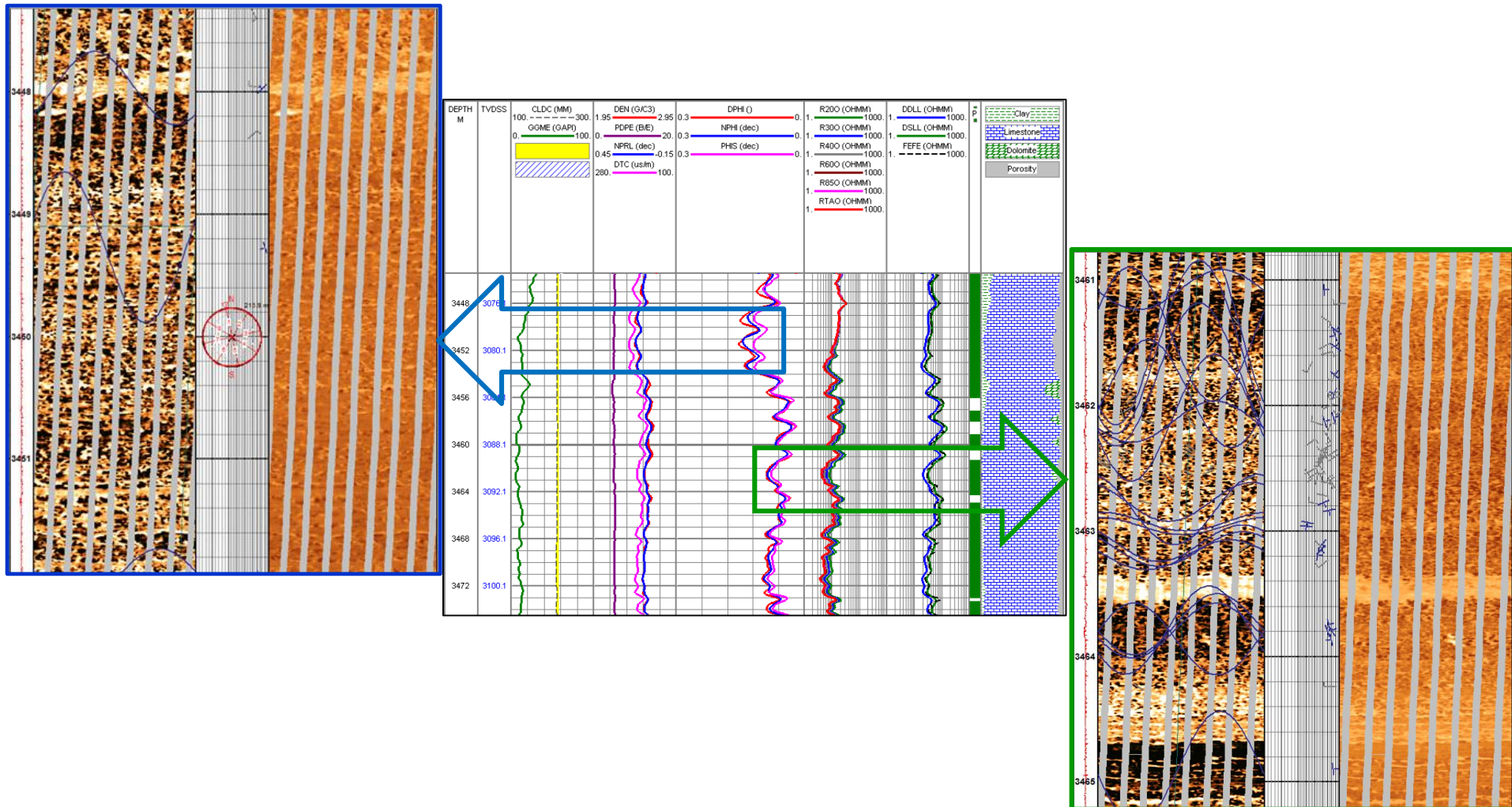
# Пористость по DTP и вторичная пористость на изображении (Porosity from DTP and secondary porosity on the Image)



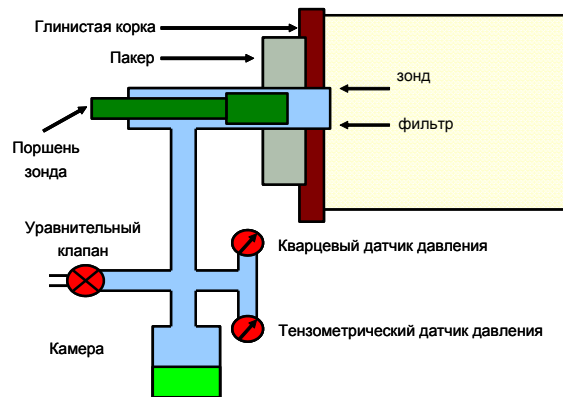
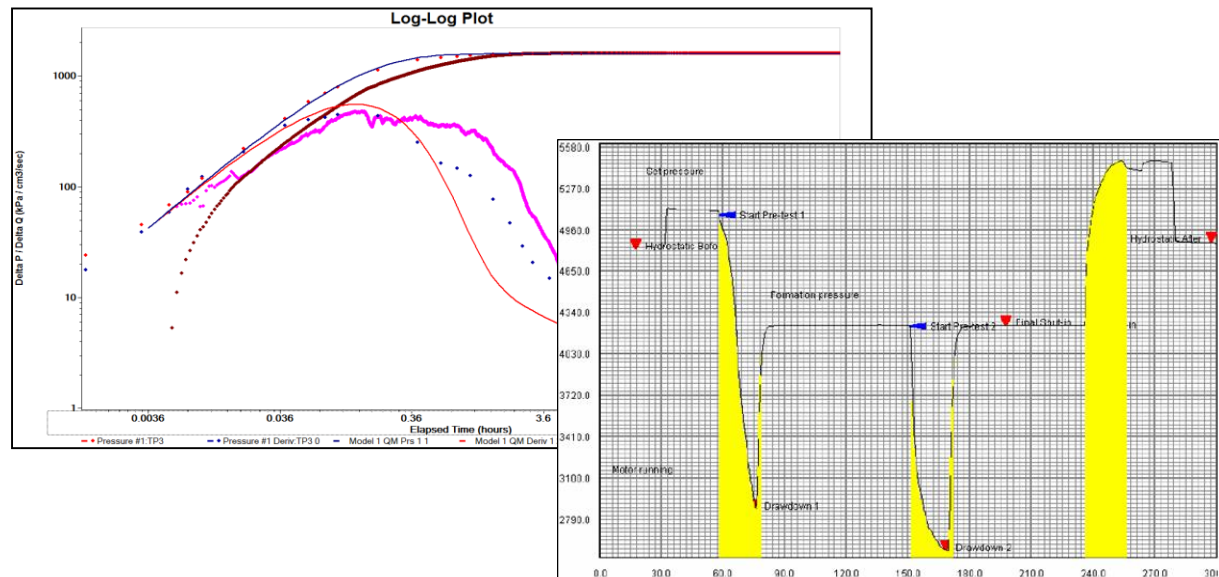
# Пористость по DTP и вторичная пористость на изображении (Porosity from DTP and secondary porosity on the Image)



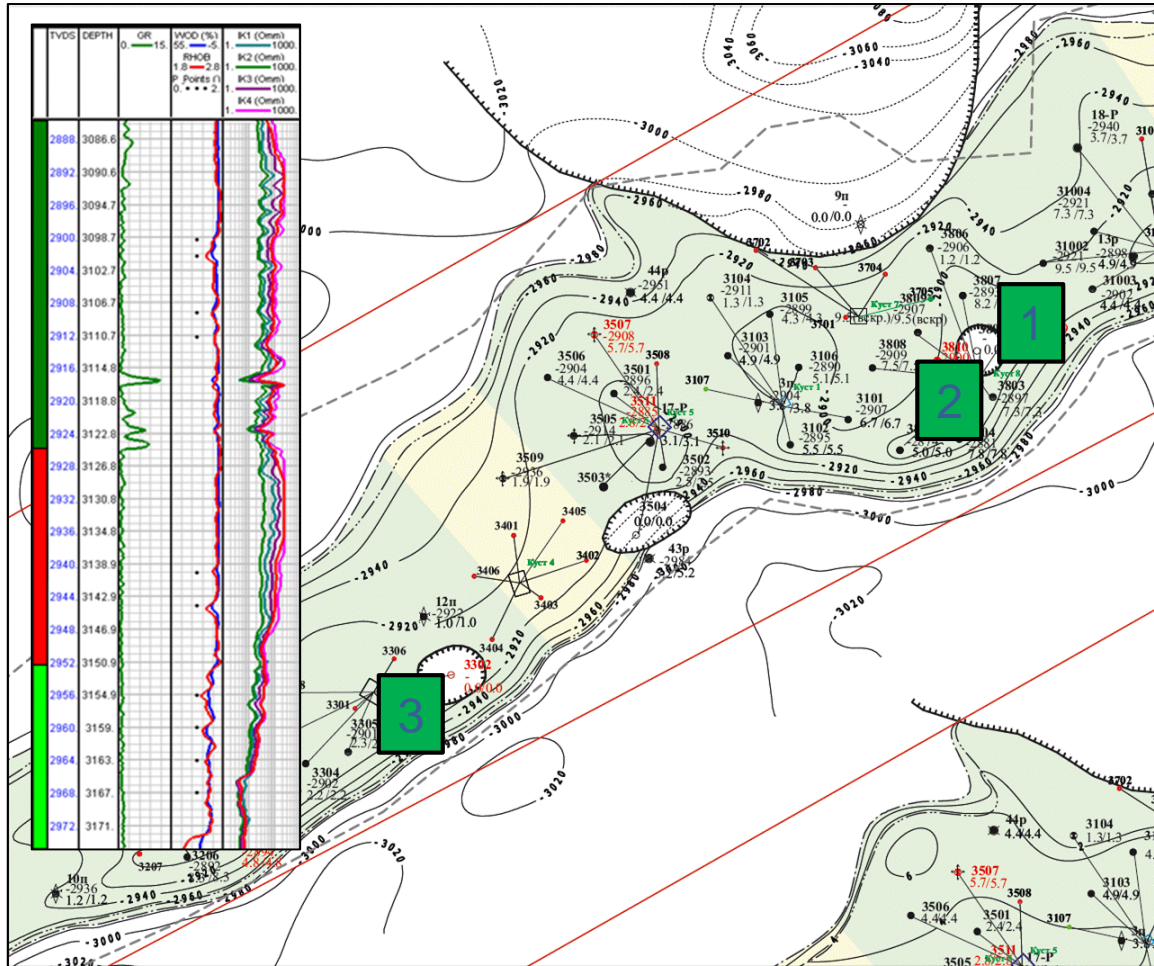
# Пористость по DTP и вторичная пористость на изображении (Porosity from DTP and secondary porosity on the Image)



# Пластоиспытатель (Formation tester)

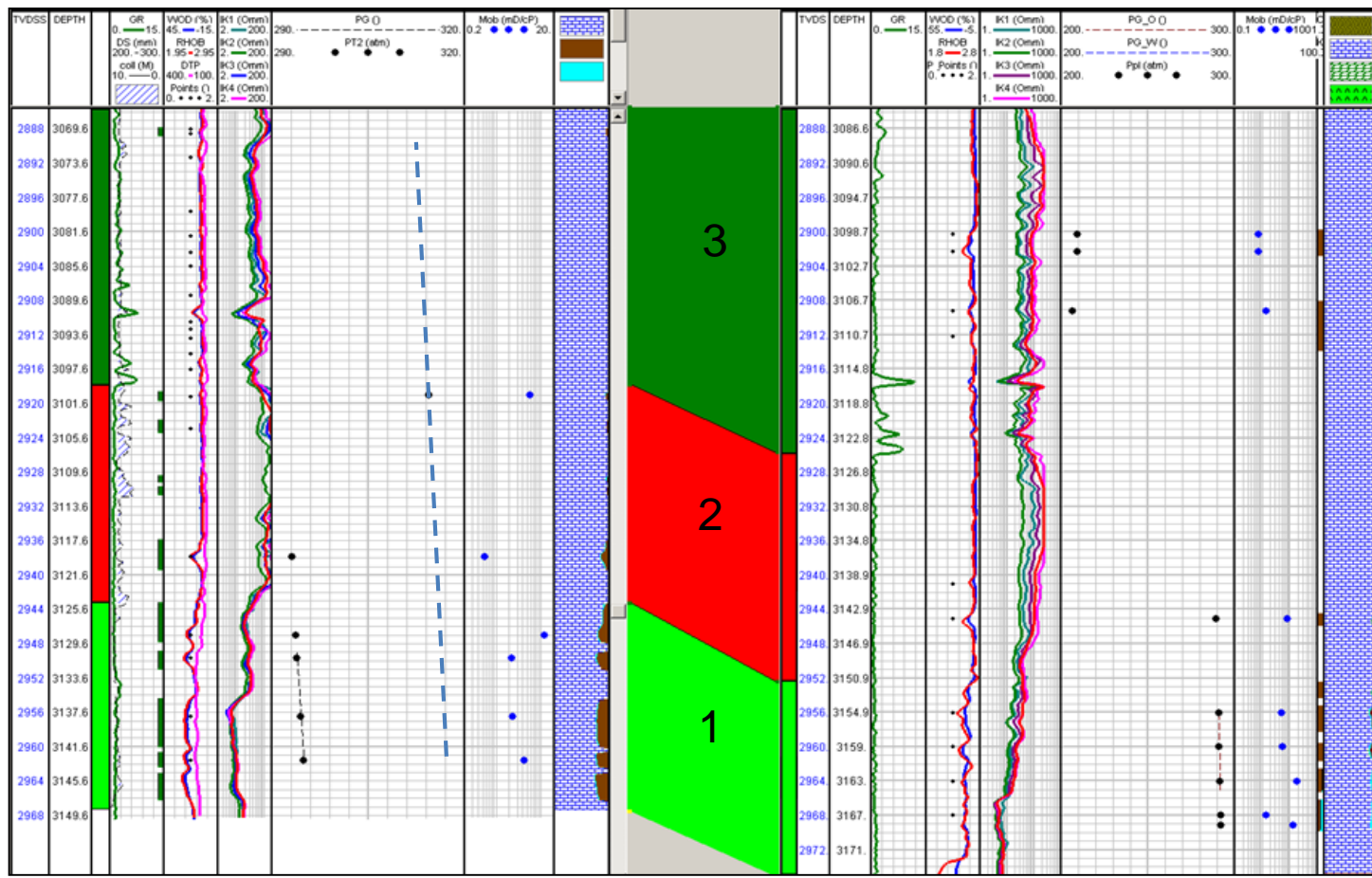


# Местоположение скважин (Location of testing wells)



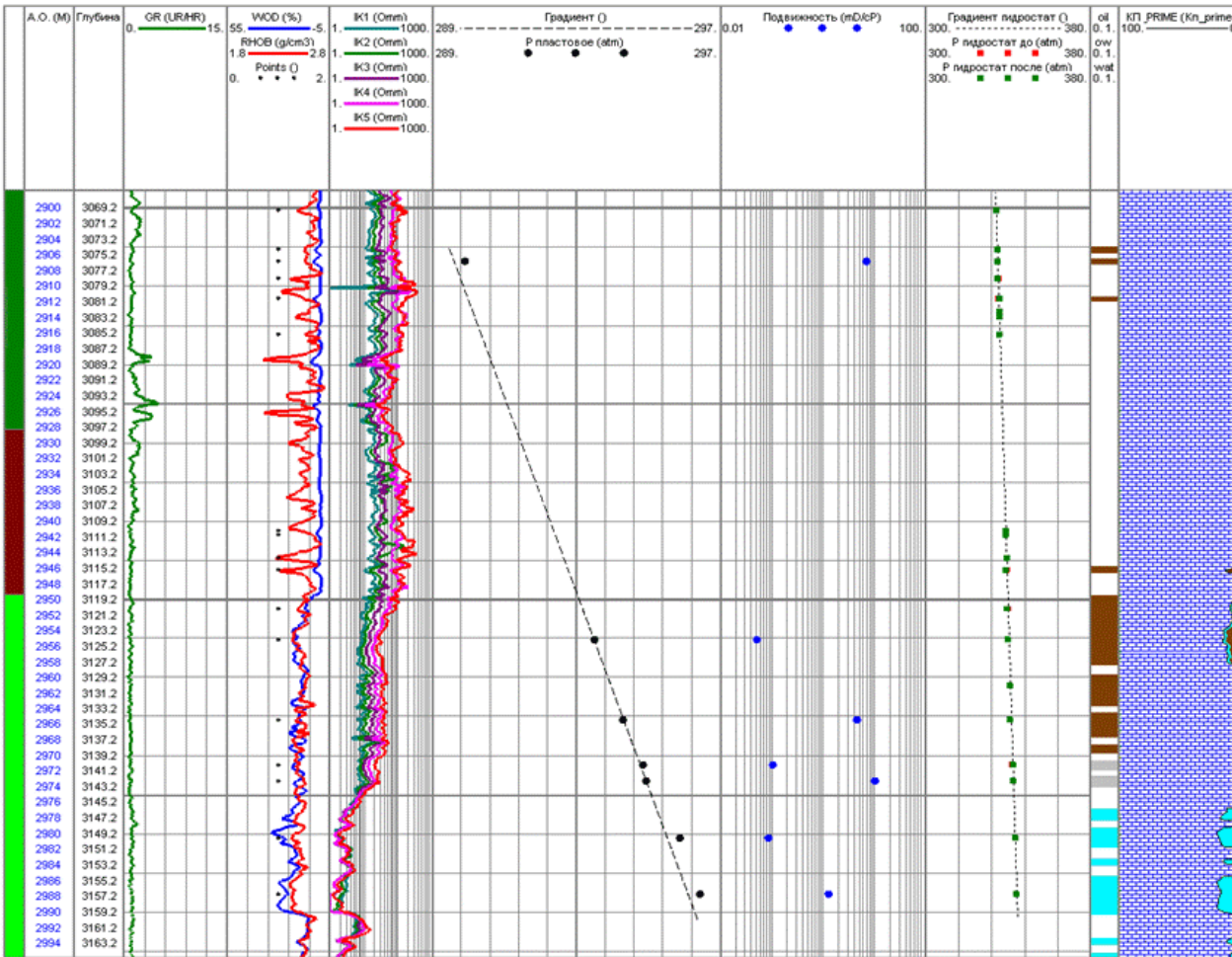
- Определение текущего пластового давления и степени истощения пластов
- Определение гидродинамической связи между пластами 1, 2 и 3
- Определение латеральных гидродинамических связей по пластам
- Определение подвижности
- Current formation pressure and depletion
- Hydrodynamical links between 1, 2 and 3
- Lateral connection
- Mobility

# Скважины 1 и 2 (Wells 1 and 2)



- Давление в пласте 2 соответствует начальному
- Пласти 1, 2 и 3 гидродинамически изолированы.
- Пласт 3 наиболее источен
- Пласт 1 вовлечен в разработку
- Formation pressure in strata 2 is primal
- Layers 1, 2 and 3 are isolated
- Layer 3 produced the most
- Layer 1 is under production

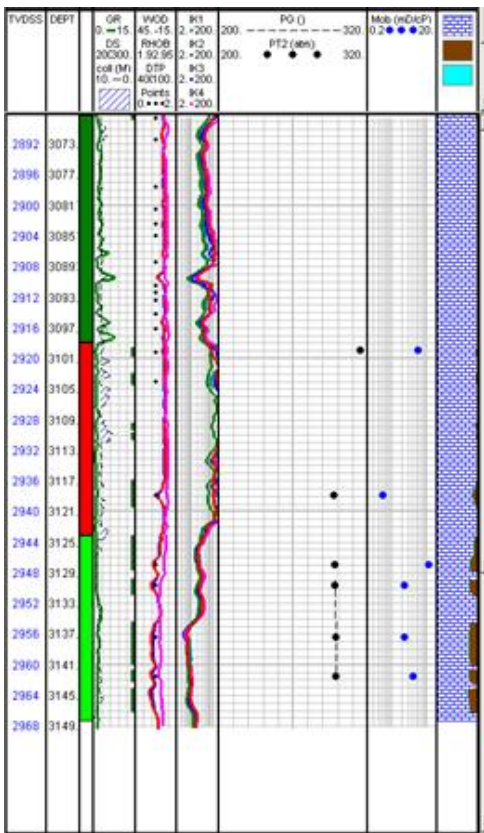
# Скважина 3 (Well 3)



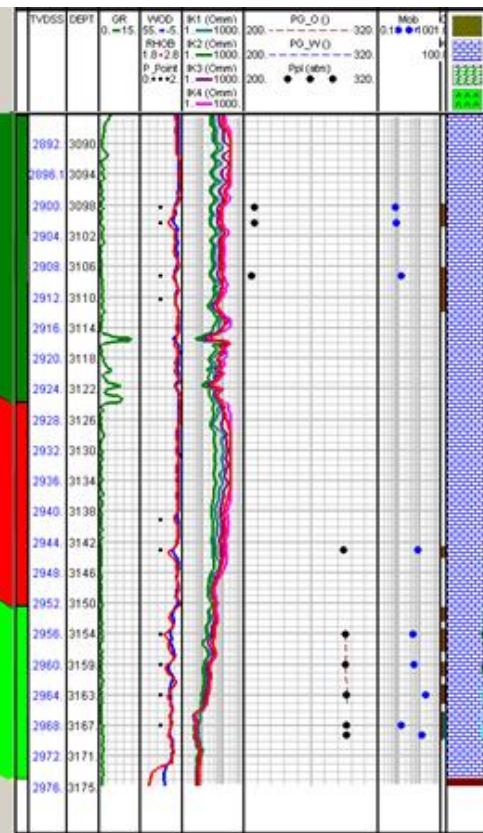
- Пласти 1 и 3 гидродинамически связаны
- Layers 1 and 3 are interconnected

# Скважины 1, 2 и 3 (Wells 1, 2 and 3)

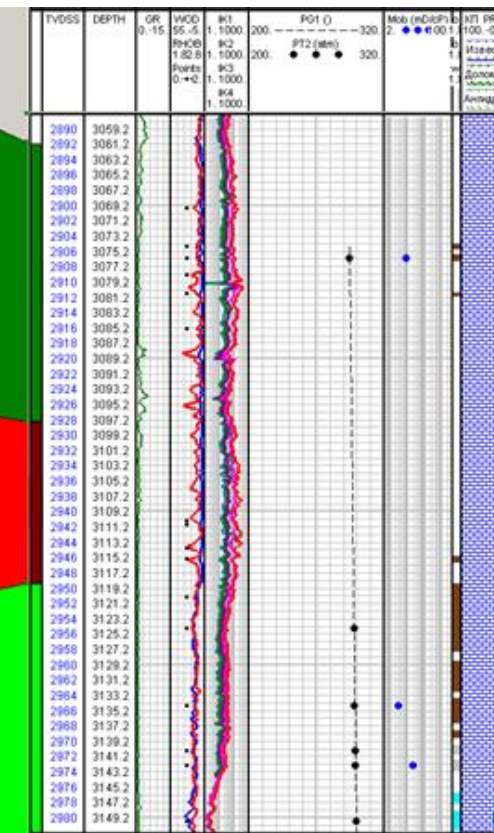
## Скважина 1 (Well 1)



## Скважина 2 (Well 2)



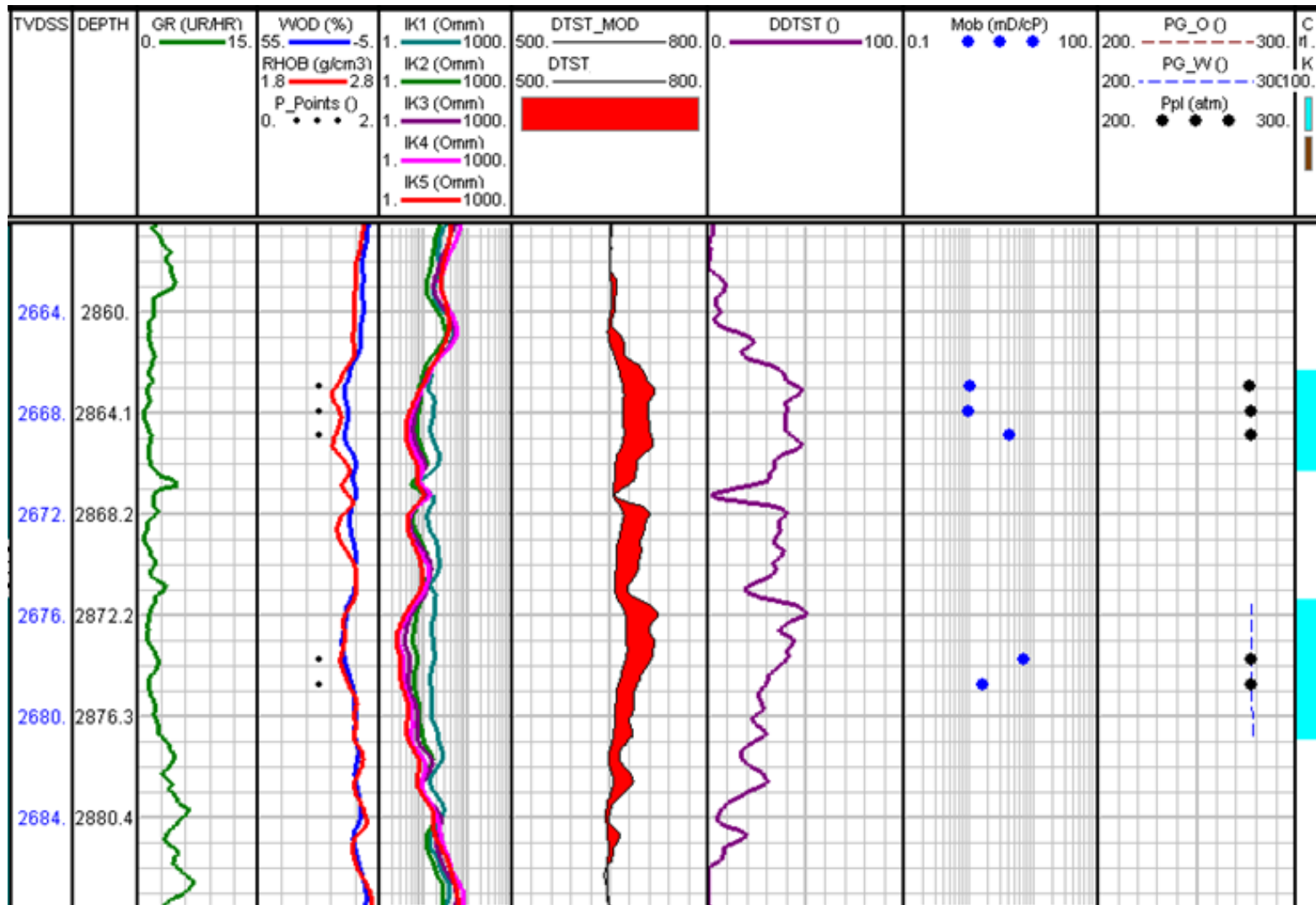
## Скважина 3 (Well 3)



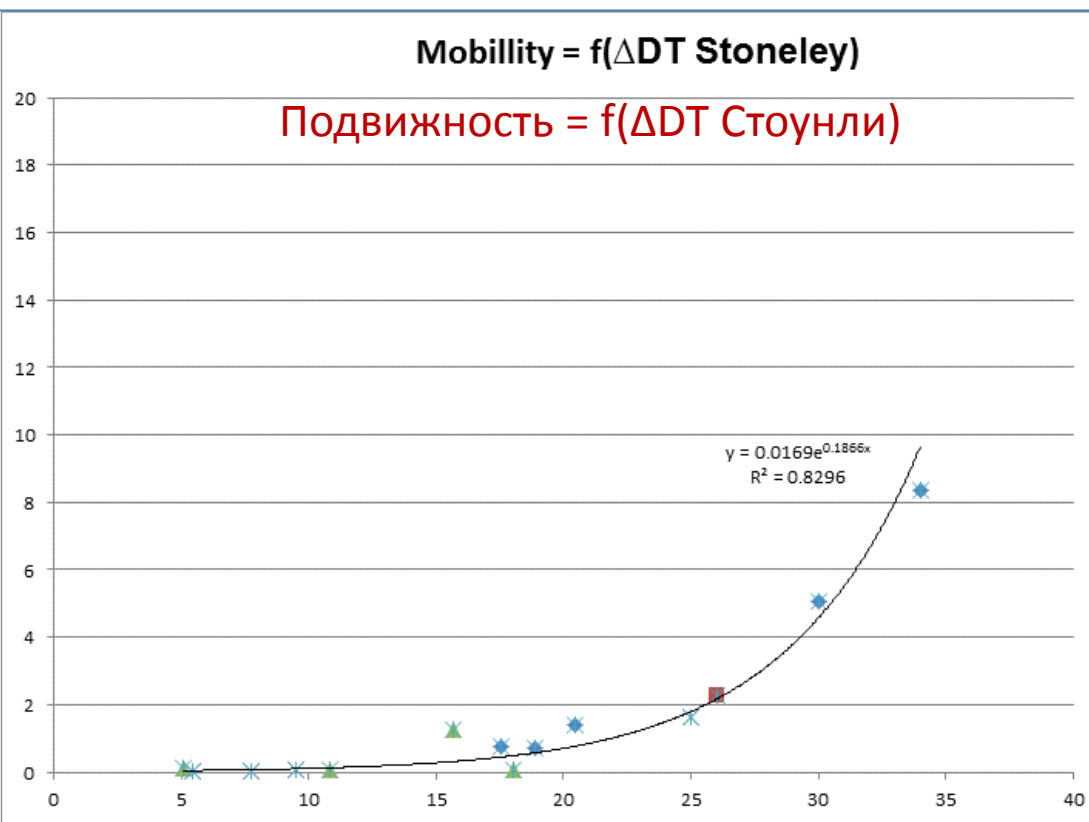
- Латеральная гидродинамическая связь по пласту 1
  - Подтверждение теории линзовидного строения пласта 2
  - Латеральная гидродинамическая связь по пласту 3 отсутствует

- Layer 1 is one hydrodynamical object in the field
  - Layer 2 is local structural traps
  - There is no lateral connection through layer 3

# Подвижность и $\Delta$ DT Стоунли (Mobility and $\Delta$ DT Stoneley)

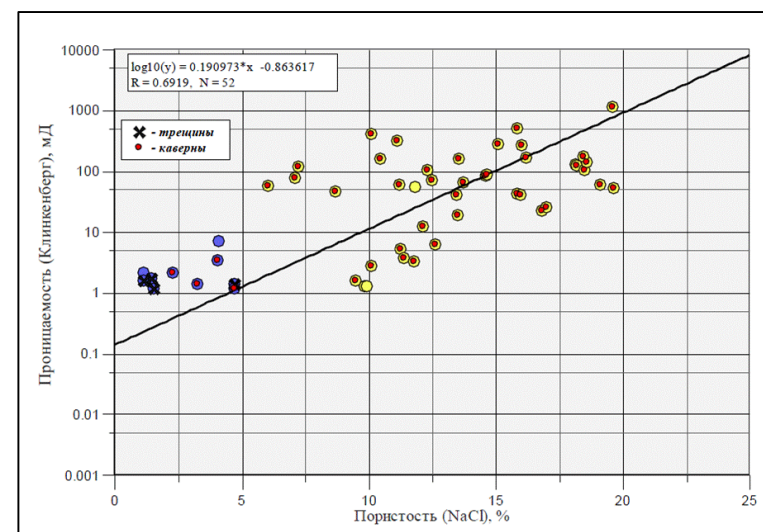


# Корреляционная связь подвижности и $\Delta DT$ Стоунли (Correlation between mobility from formation tester and $\Delta DT$ Stoneley)

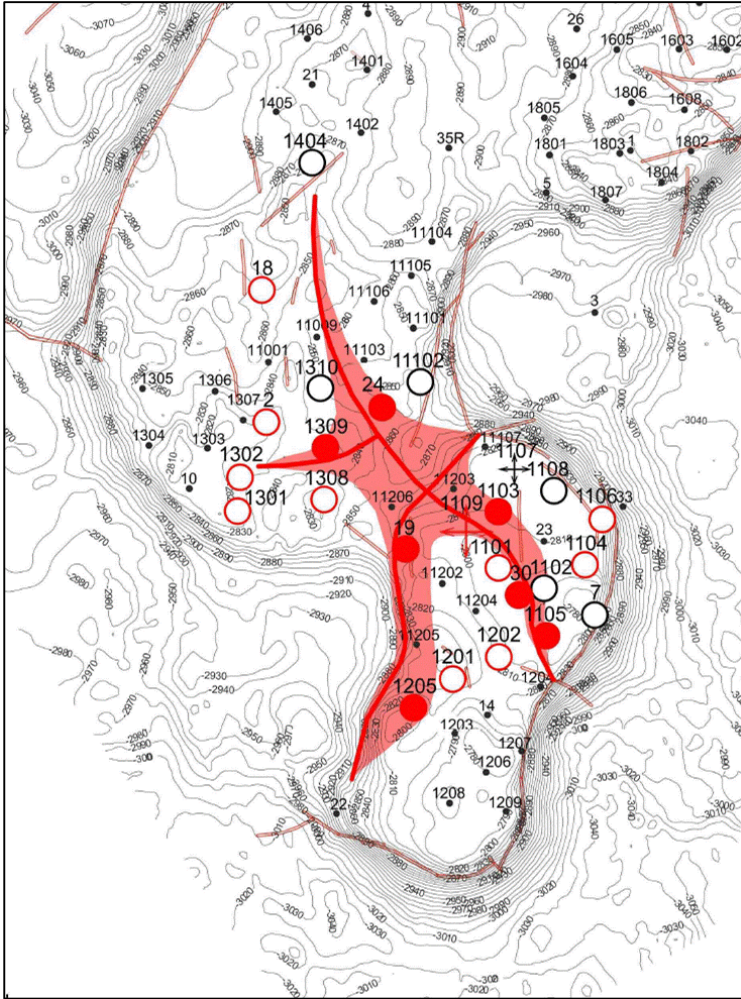


Проницаемость =  $f$  (пористость) по керну

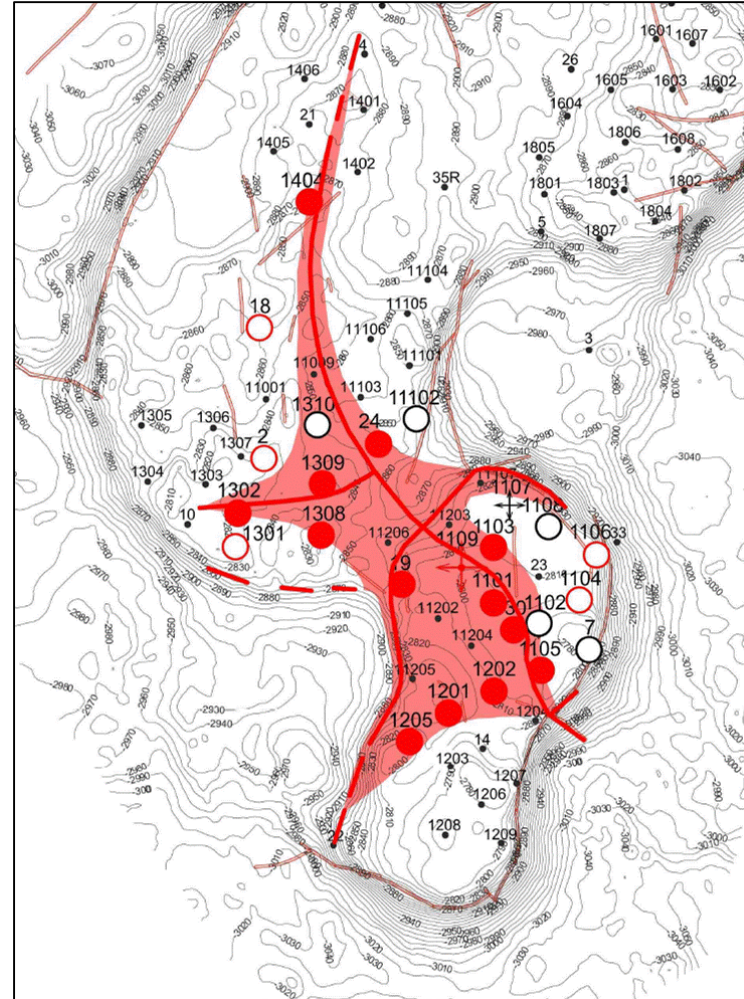
Permeability =  $f$  (porosity) from the core analyses



# Трассерные исследования (Tracers liquid research)

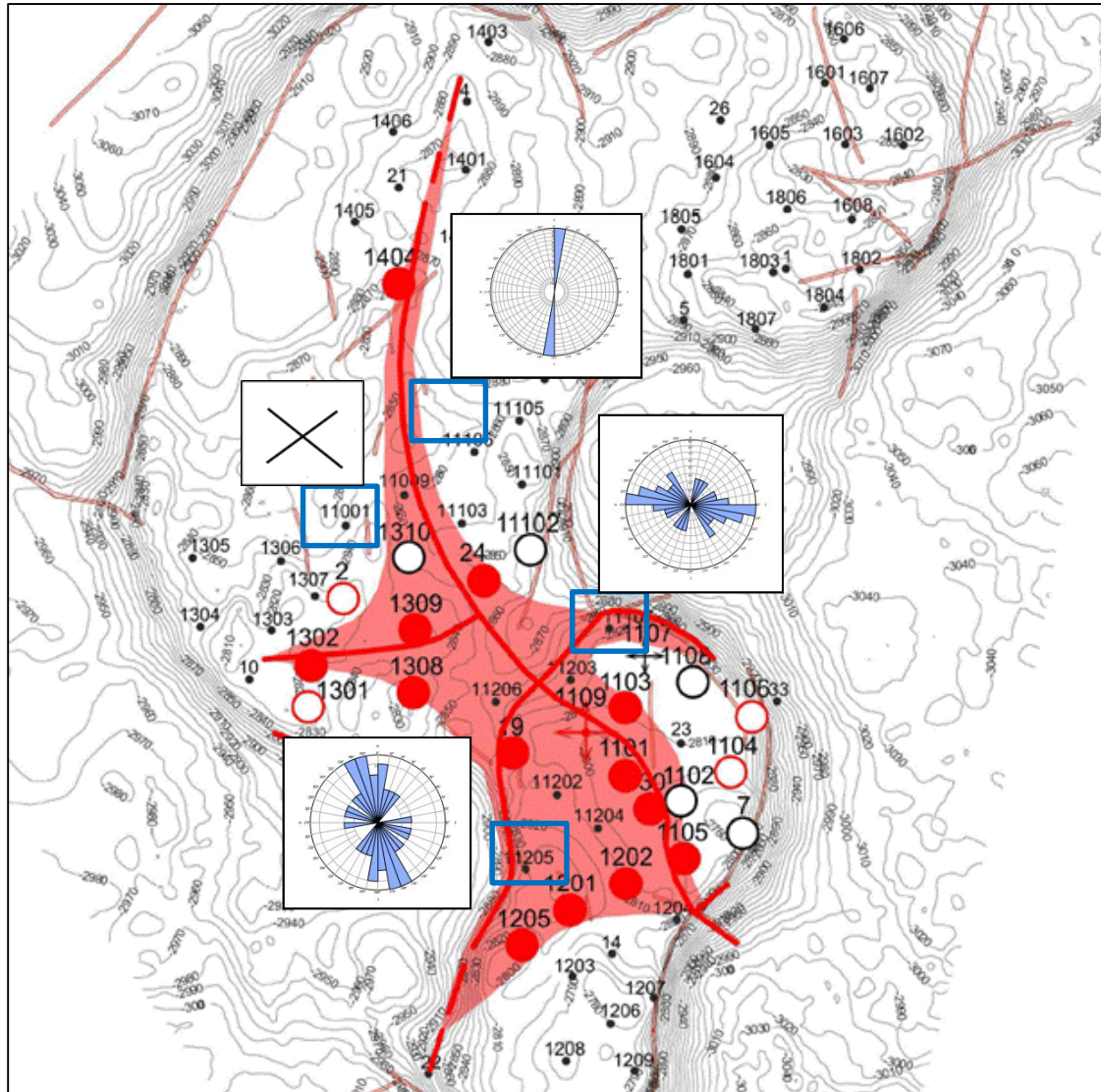


## Первые часы после заливки... Few hours after injection...

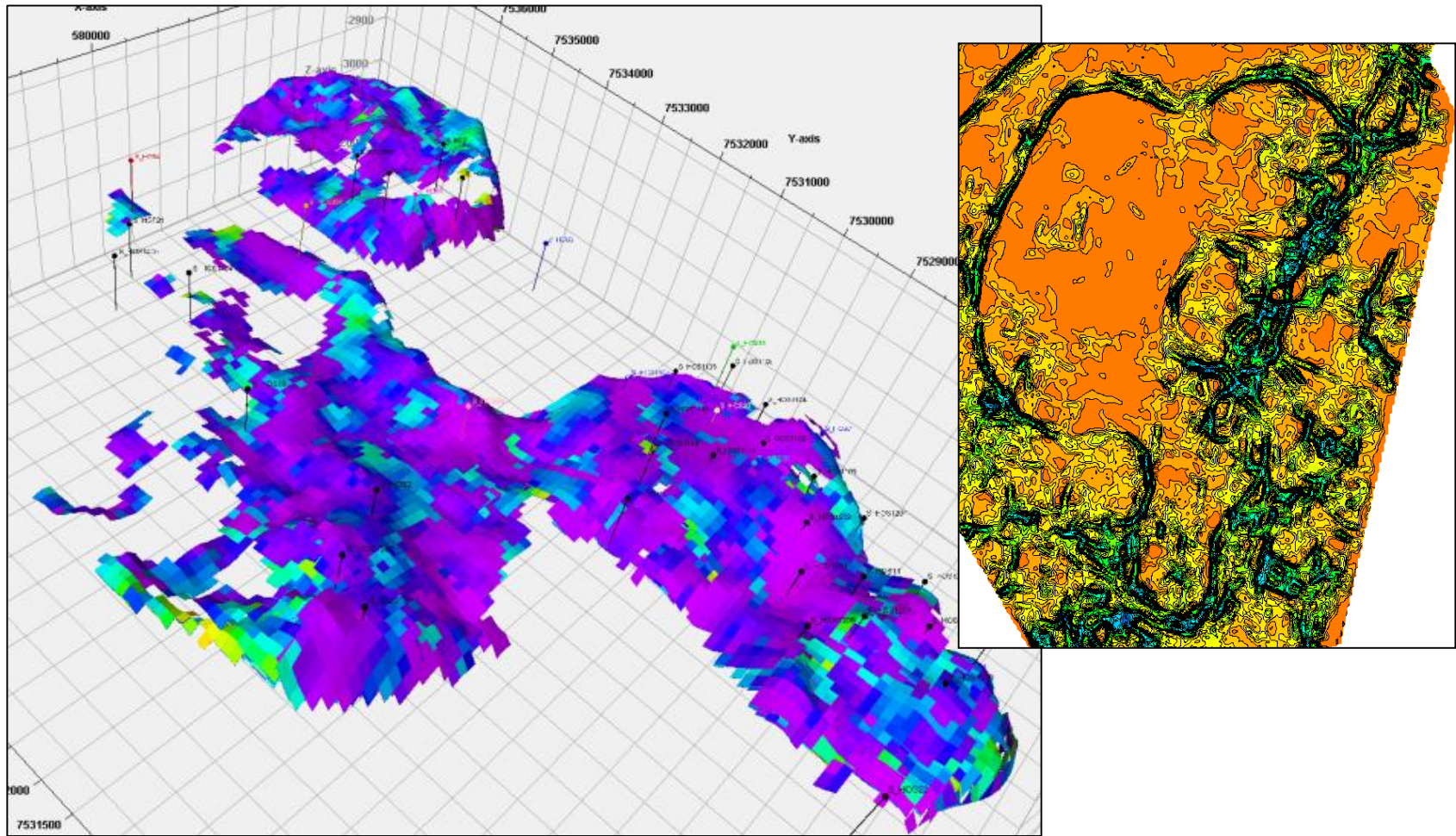


## Через сутки после заливки... A day after injection...

# Карта распространение трассера и простирание трещин (Fractures strike and tracer flow direction)



# Построение модели двойной среды (Hydrodynamic model creation)



Вопросы?

Any questions ?